

第4章 控制系统的稳定性及稳态误差

4.1 基于传递函数的稳定性分析

1. 连续系统稳定性定义及劳斯判据 (3.8~3.9)

2. 离散系统稳定性定义及劳斯判据 (6.7)

4.2 控制系统的稳态误差分析

1. 控制系统的稳态误差、动态误差系数 (3.10)

2. 离散线性系统的稳态误差、动态误差系数 (6.8.3)

4.3 基于根轨迹的稳定性分析

1. 根轨迹基本概念和基本规则 (4.1~4.3)

2. 根轨迹法分析控制系统性能 (4.4)

3. 特殊根轨迹 (4.6)

4.4 基于状态空间表达式的稳定性分析

1. Lyapunov意义下的稳定性基本概念

2. Lyapunov第一法 (间接法)

3. Lyapunov第二法 (直接法)

4. 线性定常系统的Lyapunov稳定性分析

二阶系统的时域分析

(1) 二阶系统的数学模型 ω_d ——有阻尼振荡频率, $\omega_d = \omega_n \sqrt{1 - \zeta^2}$

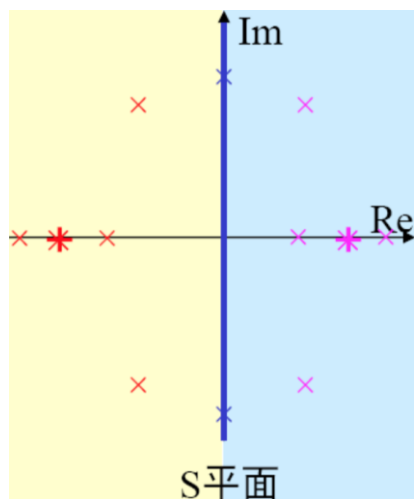
⑤ 标准二阶系统的特征方程和特征根

特征根: $s_{1,2} = -\zeta\omega_n \pm \omega_n\sqrt{\zeta^2 - 1}$

$\zeta > 0$ 实部为负 $\begin{cases} 0 < \zeta < 1 & \text{一对共扼复根} \\ \zeta = 1 & \text{两个相等的实根} \\ \zeta > 1 & \text{两个不相等的实根} \end{cases}$

$\zeta = 0$ 实部为零, 即纯虚根, 即: $s_{1,2} = \pm j\omega_n$

$\zeta < 0$ 实部为正 $\begin{cases} -1 < \zeta < 0 & \text{一对共扼复根} \\ \zeta = -1 & \text{两个相等的实根} \\ \zeta < -1 & \text{两个不相等的实根} \end{cases}$



$0 < \zeta < 1$ ——欠阻尼

$\zeta = 1$ ——临界阻尼

$\zeta > 1$ ——过阻尼

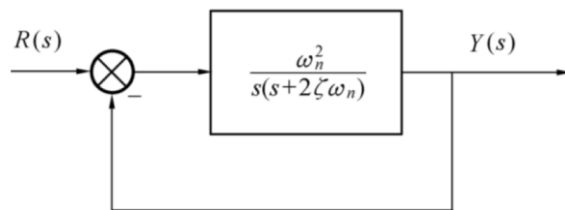
$\zeta = 0$ ——无阻尼

$-1 < \zeta < 0$ ——负阻尼

$$\Phi(s) = \frac{Y(s)}{R(s)} = \frac{\omega_n^2}{s^2 + 2\zeta\omega_n s + \omega_n^2}$$

$0 \leq \xi < 1$ (欠阻尼, 零阻尼) 时系统动态性能指标的计算

$$\Phi(s) = \frac{\omega_n^2}{s^2 + 2\xi\omega_n s + \omega_n^2} \quad 0 \leq \xi < 1$$

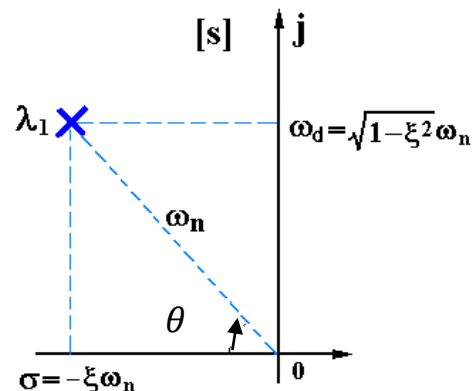
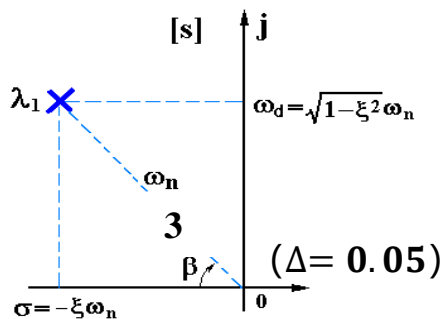


(1) $0 \leq \xi < 1$ 时系统极点的两种表示方法

(2) 单位阶跃响应 $y(t)$ 表达式

$$y(t) = 1 - \frac{e^{-\xi\omega_n t}}{\sqrt{1-\xi^2}} \sin(\sqrt{1-\xi^2}\omega_n t + \theta)$$

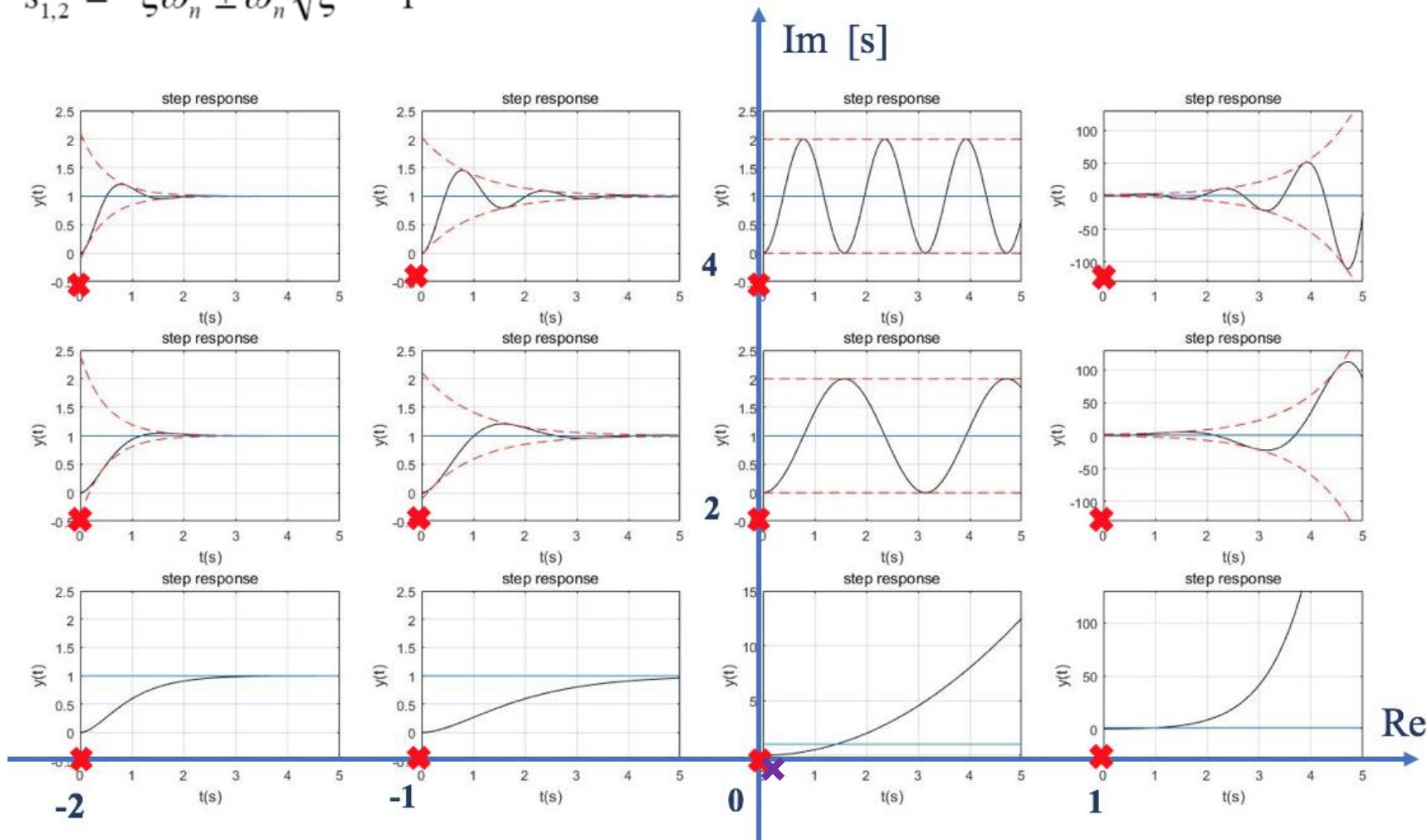
(3) 动态指标计算公式



(4) 动态性能随系统极点分布变化的规律

二阶系统动态性能随极点位置分布的变化规律

$$s_{1,2} = -\zeta\omega_n \pm \omega_n\sqrt{\zeta^2 - 1}$$



两个问题:

- 一是如何通过**闭环系统特征根**的分布来全面了解闭环系统的**动态特性**;
- 二是如何通过对闭环系统的**动态特性**要求来决定**闭环特征根**的合理分布, 进而确定控制器的结构和参数

图解方法: **根轨迹法**-----本章; **频率响应法**----- 下一章

根轨迹法: 三大分析、设计方法之一

- **根轨迹的概念**
 - 什么是根轨迹?
 - 为什么要用根轨迹?
 - **根轨迹的绘制**
 - 如何简单方便地绘制根轨迹?
 - **系统性能分析**
 - 如何使用根轨迹分析系统性能指标?
-

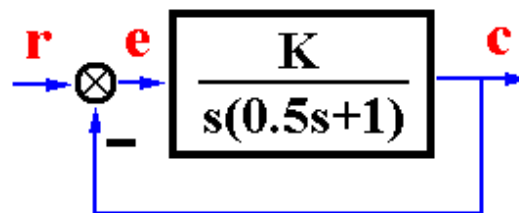
-
- 根轨迹的概念
 - 什么是根轨迹?
 - 为什么要用根轨迹?
 - 根轨迹的绘制
 - 如何简单方便地绘制根轨迹?
 - 系统性能分析
 - 如何使用根轨迹分析系统性能指标?

根轨迹定义:

当系统某一参数（如开环增益）变化时，**闭环系统特征方程**的根在S平面上变化的轨迹。

该方法是1948年Evans提出的，并广泛应用于控制工程中

例1 系统结构图如图所示，分析闭环极点随开环增益K 变化的趋势。



解. $G(s) = \frac{K}{s(0.5s+1)} = \frac{K^* = 2K}{s(s+2)}$

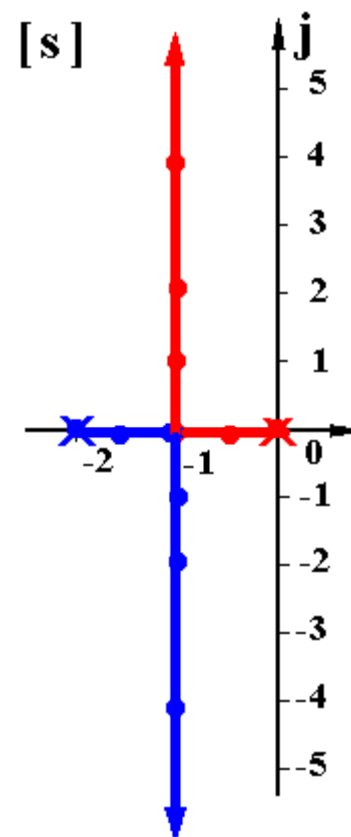
$\begin{cases} K : \text{开环增益} \\ K^* : \text{根轨迹增益} \end{cases}$

$$\Phi(s) = \frac{C(s)}{R(s)} = \frac{K^*}{s^2 + 2s + K^*}$$

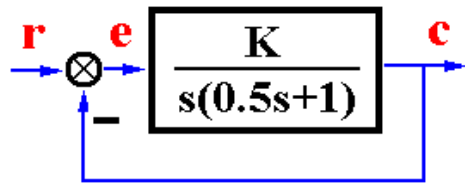
$$D(s) = s^2 + 2s + K^* = 0$$

$$\lambda_{1,2} = -1 \pm \sqrt{1 - K^*}$$

$K^*=2K$	λ_1	λ_2
0	0	-2
0.64	-0.4	-1.6
1	-1	-1
2	-1+j1	-1-j1
5	-1+j2	-1-j2
17	-1+j4	-1-j4
\vdots	\vdots	\vdots
∞	$-1+j\infty$	$-1-j\infty$

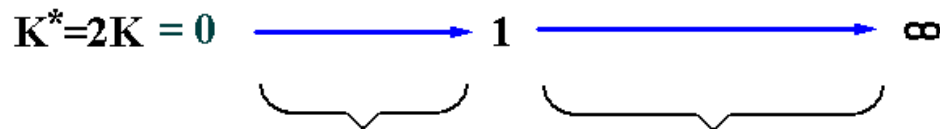


根轨迹与系统性能



$$D(s) = s^2 + 2s + K^* = 0$$

$$\lambda_{1,2} = -1 \pm \sqrt{1 - K^*}$$



动态性能

$\xi > 1$	$0 < \xi < 1$
$\sigma\% = 0$	$\theta \uparrow \Rightarrow \xi \downarrow \Rightarrow \sigma\% \uparrow$
$t_s \downarrow$	$t_s = \frac{3.5}{\xi \omega_n} \sim$

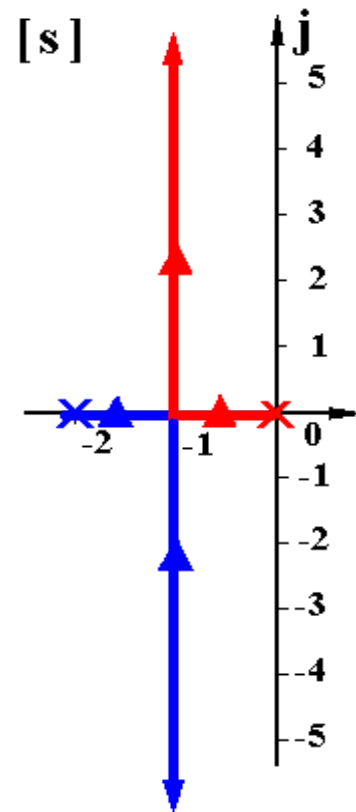
稳定性

$\text{Re}[\lambda_{1,2}] < 0$, 系统绝对稳定

稳态误差

$[r(t) = At]$

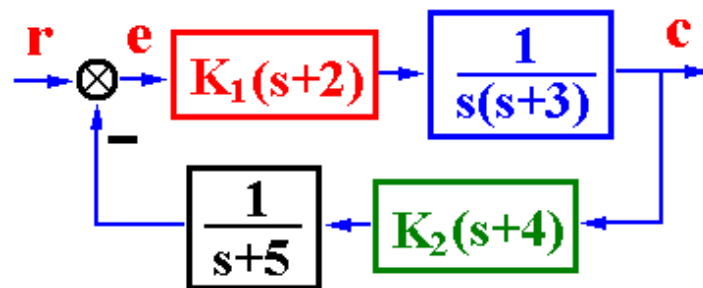
$$K^* \uparrow \Rightarrow e_{ss} = \frac{A}{K} = \frac{2A}{K^*} \downarrow$$



闭环零、极点与开环零、极点之间的关系

系统结构图如图所示，确定闭环零点

$$G(s) = \frac{K_1 K_2 (s+2)(s+4)}{s(s+3)(s+5)} \quad \begin{cases} K^* = K_1 K_2 \\ K = \frac{8}{15} K_1 K_2 \\ v = 1 \end{cases}$$



$$\Phi(s) = \frac{\frac{K_1(s+2)}{s(s+3)}}{1 + \frac{K_1 K_2 (s+2)(s+4)}{s(s+3)(s+5)}} = \frac{K_1(s+2)(s+5)}{s(s+3)(s+5) + K_1 K_2 (s+2)(s+4)}$$

闭环零点 = 前向通道开环零点 + 反馈通道开环极点

闭环极点与开环零点、开环极点及 K^* 均有关

根轨迹方程及其含义

$$G(s) = \frac{K^*}{s - p}$$

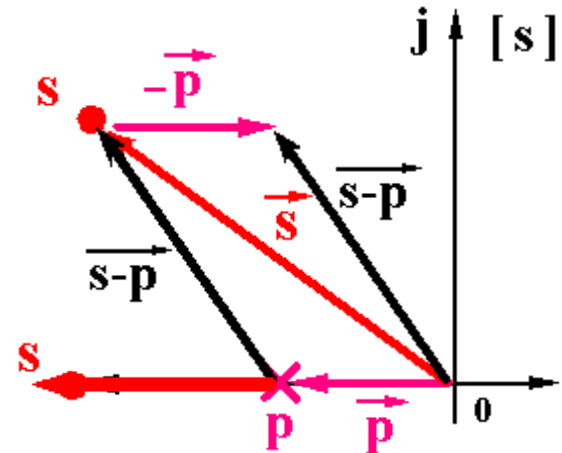
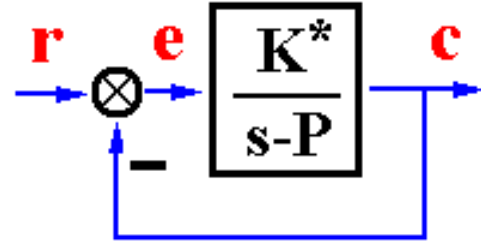
$$\Phi(s) = \frac{G(s)}{1 + G(s)}$$

$$1 + G(s) = 0$$

$$G(s) = -1$$

根轨迹方程

$$\begin{cases} |G(s)| = \frac{K^*}{|s - p|} = 1 \\ \angle G(s) = -\angle(s - p) = (2k + 1)\pi \end{cases}$$



根轨迹方程及其含义

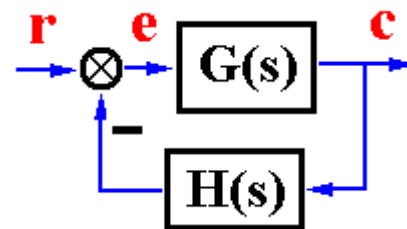
一般情况下

$$G(s)H(s) = \frac{K^* (s - z_1) \cdots (s - z_m)}{(s - p_1)(s - p_2) \cdots (s - p_n)} = \frac{K^* \prod_{i=1}^m (s - z_i)}{\prod_{j=1}^n (s - p_j)}$$

$$\Phi(s) = \frac{G(s)}{1 + G(s)H(s)}$$

$$G(s)H(s) = \frac{K^* (s - z_1) \cdots (s - z_m)}{(s - p_1)(s - p_2) \cdots (s - p_n)} = -1$$

根轨迹方程



$$K = K^* \frac{\prod_{i=1}^m |z_i|}{\prod_{j=1}^n |p_j|}$$

$$|G(s)H(s)| = \frac{K^* |s - z_1| \cdots |s - z_m|}{|s - p_1| |s - p_2| \cdots |s - p_n|} = K^* \frac{\prod_{i=1}^m |(s - z_i)|}{\prod_{j=1}^n |(s - p_j)|} = 1$$

— 模值条件

$$\angle G(s)H(s) = \sum_{i=1}^m \angle(s - z_i) - \sum_{j=1}^n \angle(s - p_j) = (2k + 1)\pi$$

— 相角条件

$$|G(s)H(s)| = \frac{K^* |s - z_1| L |s - z_m|}{|s - p_1| |s - p_2| L |s - p_n|} = K^* \frac{\prod_{i=1}^m |(s - z_i)|}{\prod_{j=1}^n |(s - p_j)|} = 1$$

例2 判定 s_i 是否为根轨迹上的点。 $\angle G(s)H(s) = \sum_{i=1}^m \angle(s - z_i) - \sum_{j=1}^n \angle(s - p_j) = (2k + 1)\pi$

解. $G(s) = \frac{K^*}{(s+1)(s+5)}$

模值条件 $K^* = |s+1| |s+5|$

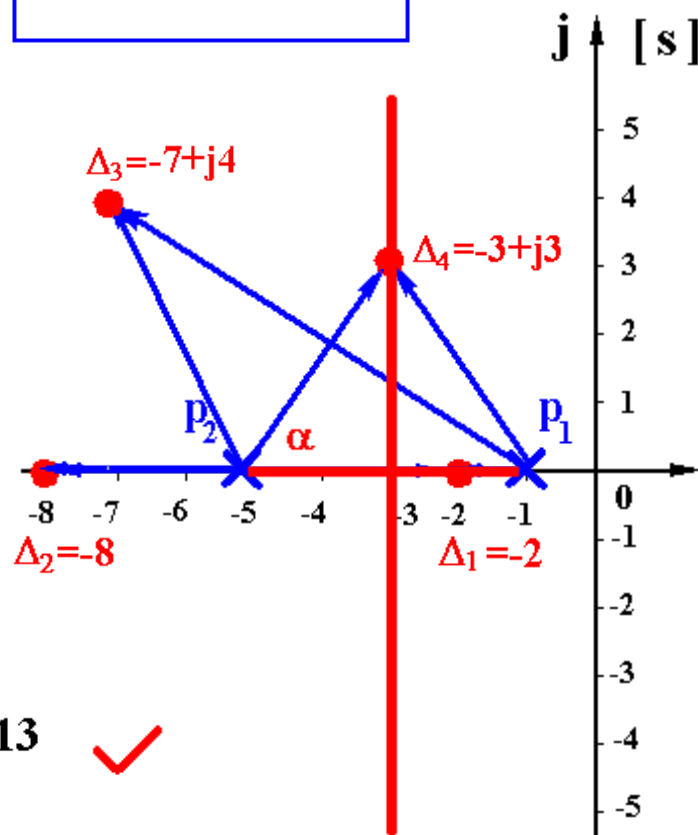
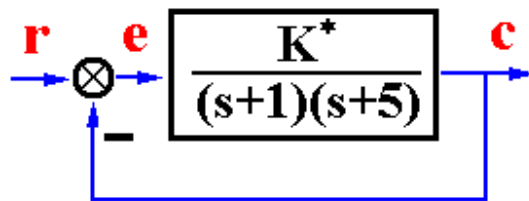
相角条件 $-\angle s - p_1 - \angle s - p_2 = (2k+1)\pi$

$\Delta_1 = -2 \begin{cases} K_{\Delta_1}^* = |-2+1| |-2+5| = 3 \\ -\angle -2+1 - \angle -2+5 = -180 - 0 = -180 \end{cases} \quad \checkmark$

$\Delta_2 = -8 \begin{cases} K_{\Delta_2}^* = |-8+1| |-8+5| = 21 \\ -\angle -8+1 - \angle -8+5 = -180 - 180 = -360 \end{cases} \quad \times$

$\Delta_3 = -7+j4 \begin{cases} K_{\Delta_3}^* = |-7+j4+1| |-7+j4+5| \\ = \sqrt{6^2+4^2} \cdot \sqrt{2^2+4^2} = 32.25 \\ -\angle -7+j4+1 - \angle -7+j4+5 \neq (2k+1)\pi \end{cases} \quad \times$

$\Delta_4 = -3+j3 \begin{cases} K_{\Delta_4}^* = |-3+j3+1| |-3+j3+5| = \sqrt{2^2+3^2} \cdot \sqrt{2^2+3^2} = 13 \\ -\angle -3+j3+1 - \angle -3+j3+5 = -(180-\alpha) - \alpha = -180 \end{cases} \quad \checkmark$



- 对s平面上任意的点，总存在一个 K^* ，使其满足模值条件，但该点不一定是根轨迹上的点。

- s平面上满足相角条件的点（必定满足模值条件）一定在根轨迹上。

满足相角条件是s点位于根轨迹上的充分必要条件。

- 根轨迹上某点对应的 K^* 值，应由模值条件来确定。

绘制根轨迹

$$|G(s)H(s)| = \frac{K^* |s - z_1| L |s - z_m|}{|s - p_1| |s - p_2| L |s - p_n|} = K^* \frac{\prod_{i=1}^m |(s - z_i)|}{\prod_{j=1}^n |(s - p_j)|} = 1$$

$$\angle G(s)H(s) = \sum_{i=1}^m \angle(s - z_i) - \sum_{j=1}^n \angle(s - p_j) = (2k + 1)\pi$$

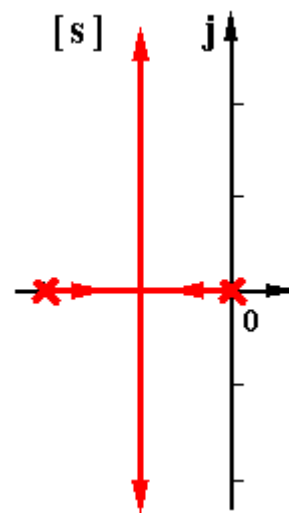
法则1 根轨迹的起点和终点：

根轨迹起始于开环极点，终止于开环零点；如果开环极点个数 n 大于开环零点个数 m ，则有 $n-m$ 条根轨迹终止于无穷远处。

$$K^* = \frac{|s - p_1| \cdots |s - p_n|}{|s - z_1| \cdots |s - z_m|} = \frac{s^{n-m} \left|1 - \frac{p_1}{s}\right| \cdots \left|1 - \frac{p_n}{s}\right|}{\left|1 - \frac{z_1}{s}\right| \cdots \left|1 - \frac{z_m}{s}\right|} = 0 \quad s = p_i \quad i = 1, 2, \cdots n$$

$$K^* = \frac{|s - p_1| \cdots |s - p_n|}{|s - z_1| \cdots |s - z_m|} = \frac{s^{n-m} \left|1 - \frac{p_1}{s}\right| \cdots \left|1 - \frac{p_n}{s}\right|}{\left|1 - \frac{z_1}{s}\right| \cdots \left|1 - \frac{z_m}{s}\right|} = \infty \quad \begin{cases} s = z_j \\ s = \infty \end{cases}$$

$$j = 1, 2, \cdots m$$



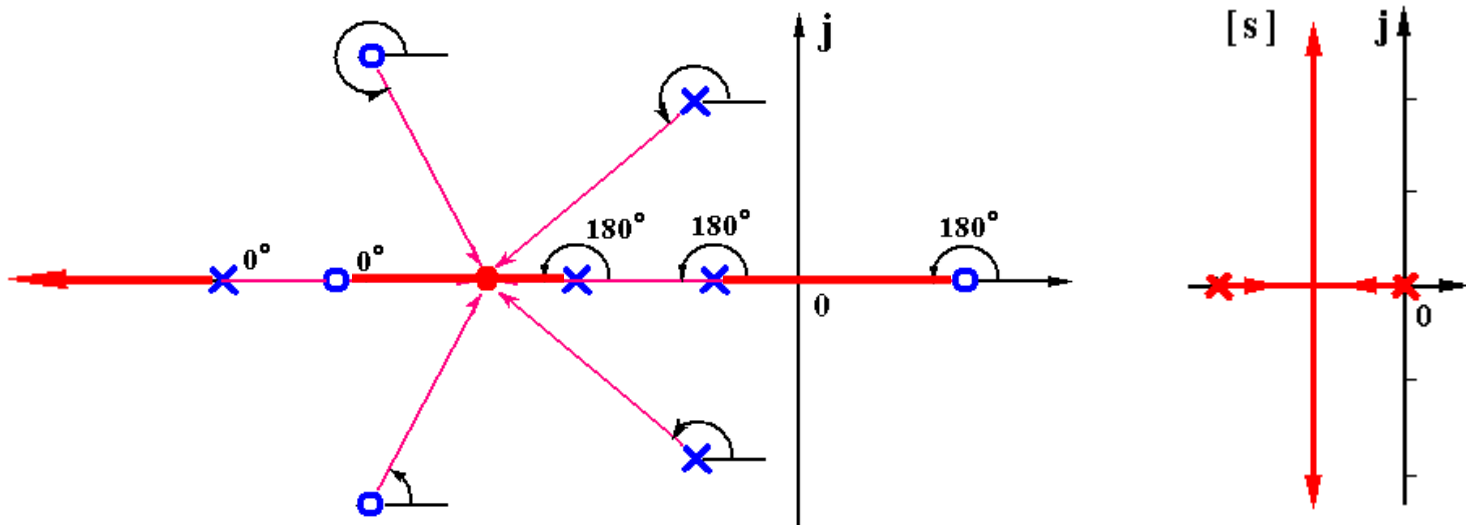
$$\angle G(s)H(s) = \sum_{i=1}^m \angle(s - z_i) - \sum_{j=1}^n \angle(s - p_j) = (2k + 1)\pi$$

法则2 根轨迹的分支数，对称性和连续性：

根轨迹的分支数=开环极点数；根轨迹连续且对称于实轴。

法则3 实轴上的根轨迹：

从实轴上最右端的开环零、极点算起，奇数开环零、极点到偶数开环零、极点之间的区域必是根轨迹。



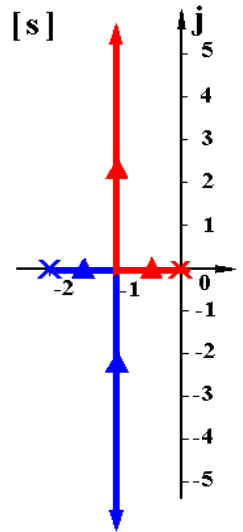
$$G(s) = \frac{K}{s(0.5s+1)} = \frac{K^*}{s(s+2)} \quad K^* = 2K$$

法则4 根之和: $\sum_{i=1}^n \lambda_i = C \quad (n-m \geq 2)$

$n-m \geq 2$ 时, 闭环根之和保持一个常值。

证明: $G(s)H(s) = \frac{K^*(s-z_1)\cdots(s-z_m)}{(s-p_1)\cdots(s-p_n)} = \frac{K^*(s^m + b_{m-1}s^{m-1} + \cdots + b_0)}{s^n + a_{n-1}s^{n-1} + \cdots + a_0}$

由代数定理: $-a_{n-1} = \sum_{i=1}^n p_i = \sum_{i=1}^n \lambda_i = -a_{n-1} = C$



$$D(s) = s^n + a_{n-1}s^{n-1} + a_{n-2}s^{n-2} + a_{n-3}s^{n-3} + \cdots + a_0$$

$$+ K^*s^{n-2} + K^*b_{n-3}s^{n-3} + \cdots + K^*b_0$$

$$= s^n + a_{n-1}s^{n-1} + (a_{n-2} + K^*)s^{n-2} + (a_{n-3} + K^*b_{n-3})s^{n-3} + \cdots + (a_0 + K^*b_0)$$

$$D(s) = (s - \lambda_1)(s - \lambda_2)\cdots(s - \lambda_n) = 0$$

$n-m \geq 2$ 时, 一部分根左移, 另一部分根必右移, 且移动总量为零。

例3 某单位反馈系统的开环传递函数为 $G(s)=\frac{K^*(s+2)}{s(s+1)}$, $K^*=0 \rightarrow \infty$, 证明复平面的根轨迹为圆弧。

$$G(s)=\frac{K^*(s+2)}{s(s+1)} \quad \begin{cases} K=2K^* \\ \nu=1 \end{cases}$$

$$D(s)=s(s+1)+K^*(s+2)=s^2+(1+K^*)s+2K^*$$

$$s_{1,2}=\frac{-(1+K^*)\pm\sqrt{(1+K^*)^2-8K^*}}{2}$$

$$=\frac{-(1+K^*)}{2}\pm j\frac{\sqrt{8K^*-(1+K^*)^2}}{2}=\sigma\pm j\omega$$

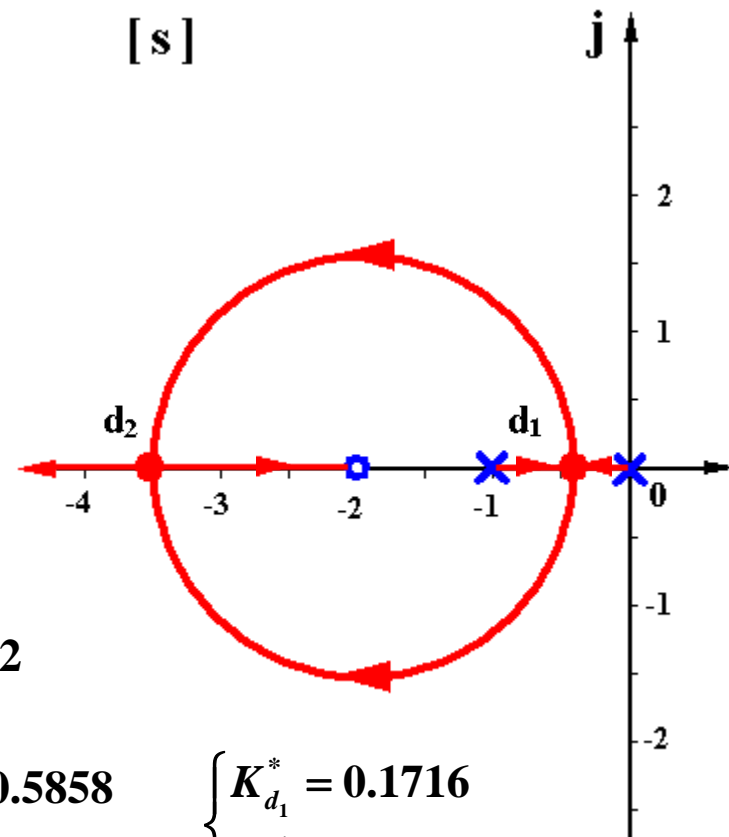
$$\sigma=\frac{-(1+K^*)}{2} \Rightarrow K^*=-2\sigma-1$$

$$\omega^2=\frac{8K^*-(1+K^*)^2}{4}=\frac{-8(2\sigma+1)-4\sigma^2}{4}=-\sigma^2-4\sigma-2$$

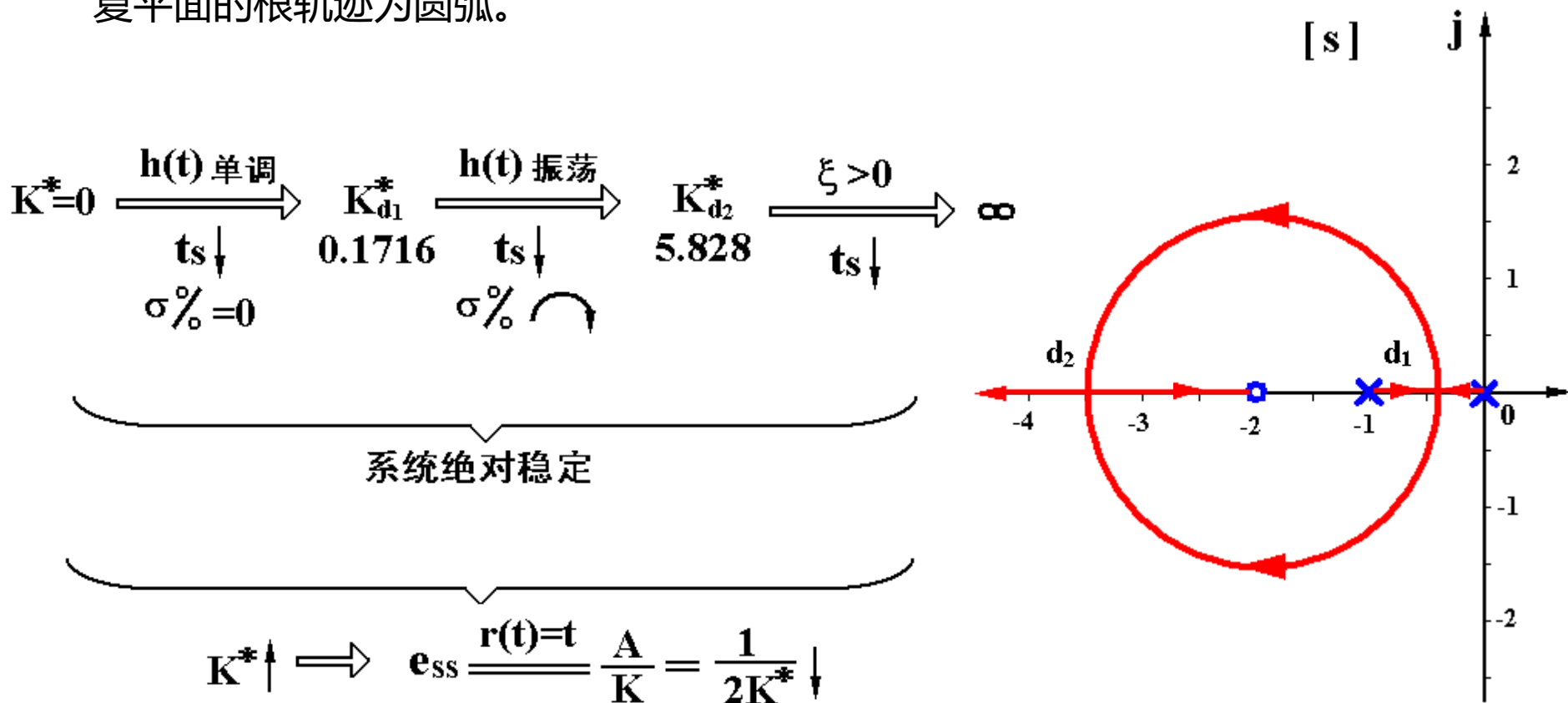
$$\sigma^2+4\sigma+4+\omega^2=2 \quad (\sigma+2)^2+\omega^2=\sqrt{2}^2$$

$$\Delta=(1+K^*)^2-8K^*=K^{*2}-6K^*+1=0$$

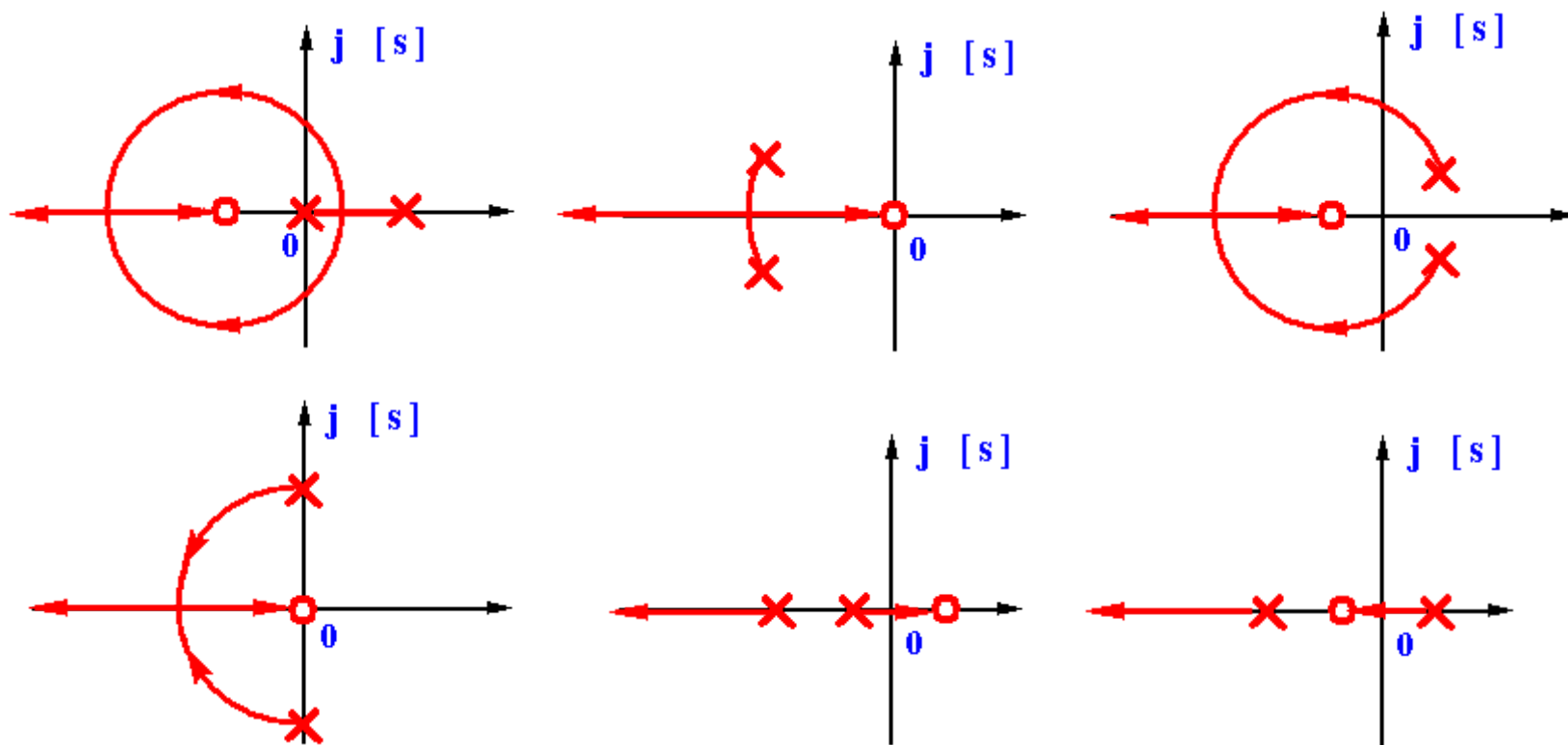
$$\begin{cases} d_1=-0.5858 \\ d_2=-3.4142 \end{cases} \quad \begin{cases} K_{d_1}^*=0.1716 \\ K_{d_2}^*=5.828 \end{cases}$$



例3 某单位反馈系统的开环传递函数为 $G(s) = \frac{K^*(s+2)}{s(s+1)}$, $K^*=0 \rightarrow \infty$, 证明复平面的根轨迹为圆弧。



定理：若系统有2个开环极点，1个开环零点，且在复平面存在根轨迹，
则复平面的根轨迹一定是以该零点为圆心的圆弧。



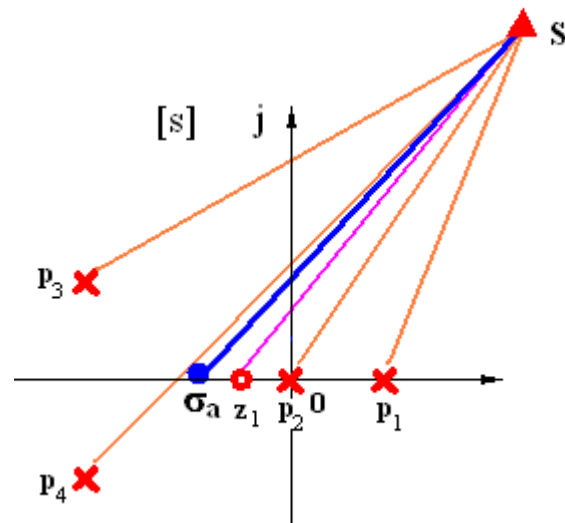
根轨迹方程

$$G(s)H(s) = \frac{K^*(s - z_1) \cdots (s - z_m)}{(s - p_1)(s - p_2) \cdots (s - p_n)} = -1$$

法则5 渐近线:

$$\left\{ \begin{aligned} \sigma_a &= \frac{\sum_{i=1}^n p_i - \sum_{j=1}^m z_j}{n - m} \\ \varphi_a &= \frac{(2k + 1)\pi}{n - m} \end{aligned} \right.$$

$n > m$ 时, $n-m$ 条根轨迹趋于无穷远处的规律。



证明: (1) $\frac{\prod_{j=1}^n (s - p_j)}{\prod_{i=1}^m (s - z_i)} = -K^* = (s - \sigma_a)^{n-m}$ 根轨迹方程

$$= s^{n-m} - \sigma_a(n-m)s^{n-m-1} + \dots$$

长除法求系数

$$\frac{\prod_{j=1}^n (s - p_j)}{\prod_{i=1}^m (s - z_i)} = \frac{s^n - (\sum_{j=1}^n p_j)s^{n-1} + \dots}{s^m - (\sum_{i=1}^m z_i)s^{m-1} + \dots} = s^{n-m} - (\sum_{j=1}^n p_j - \sum_{i=1}^m z_i)s^{n-m-1} + \dots$$

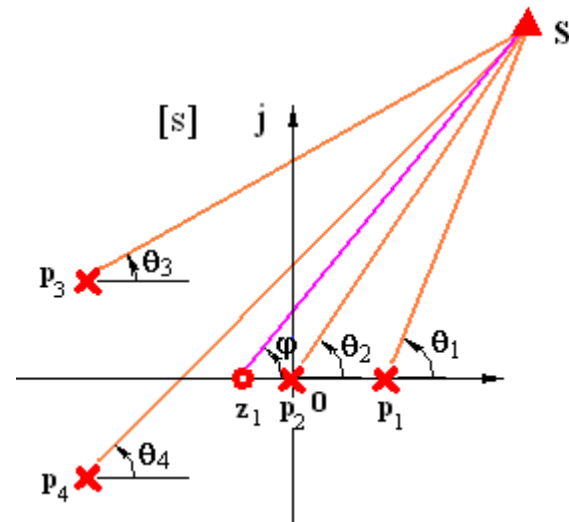
根轨迹方程

$$G(s)H(s) = \frac{K^* (s - z_1) \cdots (s - z_m)}{(s - p_1)(s - p_2) \cdots (s - p_n)} = -1$$

法则5 渐近线:

$$\left\{ \begin{array}{l} \sigma_a = \frac{\sum_{i=1}^n p_i - \sum_{j=1}^m z_j}{n - m} \\ \varphi_a = \frac{(2k + 1)\pi}{n - m} \end{array} \right.$$

$n > m$ 时, $n-m$ 条根轨迹趋于无穷远处的规律。



证明: (2) 由相角条件

$$\begin{aligned} \sum_{i=1}^m \angle(s - z_i) - \sum_{j=1}^n \angle(s - p_j) &= -(2k + 1)\pi \\ &= m\varphi_a - n\varphi_a = (m - n)\varphi_a \end{aligned}$$

$$\varphi_a = \frac{(2k + 1)\pi}{n - m}$$

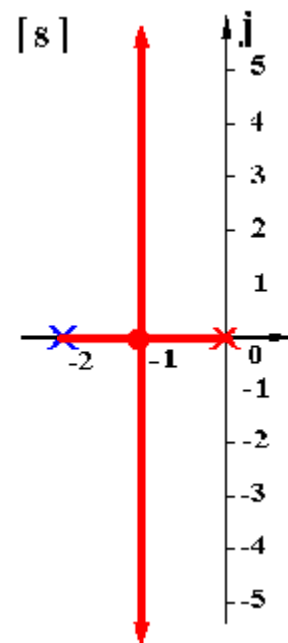
法则5 渐近线:
$$\left\{ \begin{aligned} \sigma_a &= \frac{\sum_{i=1}^n p_i - \sum_{j=1}^m z_j}{n-m} \\ \varphi_a &= \frac{(2k+1)\pi}{n-m} \end{aligned} \right.$$

$n > m$ 时, $n-m$ 条根轨迹趋于无穷远处的规律。

例1 系统开环传递函数为 $G(s) = \frac{K^*}{s(s+2)}$, 试绘制根轨迹。

解. ① 实轴上的根轨迹: $[-2, 0]$

② 渐近线:
$$\left\{ \begin{aligned} \sigma_a &= \frac{\sum_{i=1}^n p_i - \sum_{j=1}^m z_j}{n-m} = \frac{-2+0}{2-0} = -1 \\ \varphi_a &= \frac{(2k+1)\pi}{n-m} = \pm 90^\circ \end{aligned} \right.$$

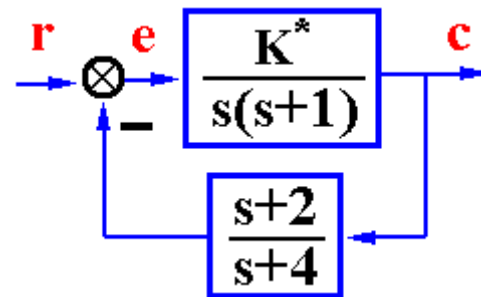


$$\sigma_a = \frac{\sum_{i=1}^n p_i - \sum_{j=1}^m z_j}{n-m} \quad \varphi_a = \frac{(2k+1)\pi}{n-m}$$

例2 系统结构图如图所示。

(1) 绘制当 $K^* = 0 \rightarrow \infty$ 时系统的根轨迹；

(2) 当 $\text{Re}[\lambda_1] = -1$ 时, $\lambda_3 = ?$



解. (1) $G(s) = \frac{K^*(s+2)}{s(s+1)(s+4)} \quad \begin{cases} K = K^*/2 \\ v = 1 \end{cases}$

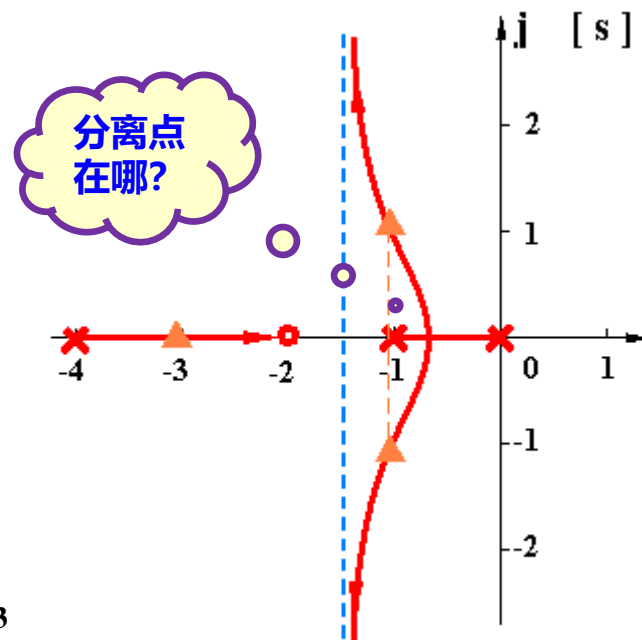
① 实轴上的根轨迹: $[-4, -2], [-1, 0]$

② 渐近线:
$$\begin{cases} \sigma_a = \frac{0-1-4+2}{3-1} = -\frac{3}{2} \\ \varphi_a = \frac{(2k+1)\pi}{3-1} = \pm 90^\circ \end{cases}$$

用根之和法则分析绘制根轨迹:

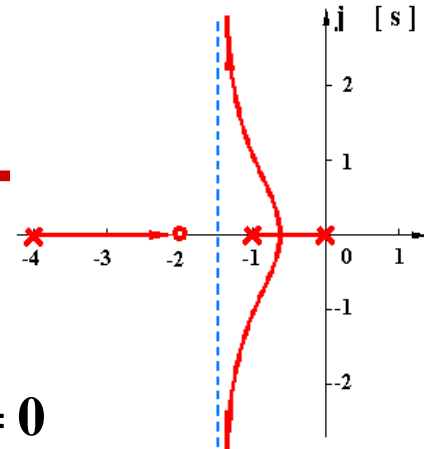
(2) $a_{n-1} = 0-1-4 = -5 = \lambda_1 + \lambda_2 + \lambda_3 = 2(-1) + \lambda_3$

$\lambda_3 = -5 + 2 = -3$



$$G(s) = \frac{K^*(s+2)}{s(s+1)(s+4)}$$

法则6 分离点 d: $\sum_{i=1}^n \frac{1}{d - p_i} = \sum_{j=1}^m \frac{1}{d - z_j}$ (对应重根)



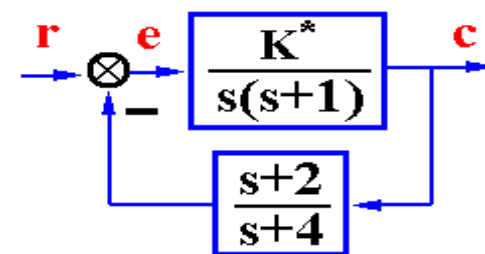
说明: $D(s) = \underline{s(s+1)(s+4)} + \underline{K^*(s+2)} \stackrel{s=d}{=} (s - \lambda_3)(s - d)^2 = 0$

$$\frac{dD(s)}{ds} = \frac{d}{ds} [s(s+1)(s+4)] + K^* \frac{d}{ds} (s+2) \stackrel{s=d}{=} (s-d)^2 + 2(s-d)(s-\lambda_3) = 0$$

$$\frac{\frac{d}{ds} [s(s+1)(s+4)]}{s(s+1)(s+4)} \stackrel{s=d}{=} \frac{-K^* \frac{d}{ds} (s+2)}{-K^* (s+2)} = \frac{\frac{d}{ds} (s+2)}{s+2}$$

$$\frac{d}{ds} \ln [s(s+1)(s+4)] \stackrel{s=d}{=} \frac{d}{ds} \ln (s+2)$$

$$\frac{d}{ds} [\ln s + \ln (s+1) + \ln (s+4)] \stackrel{s=d}{=} \frac{d}{ds} \ln (s+2)$$



试根: $d \in [-1, -0.5]$
 $d_1 = -0.5$
 $d_2 = -0.6$
 $d_3 = -0.55$

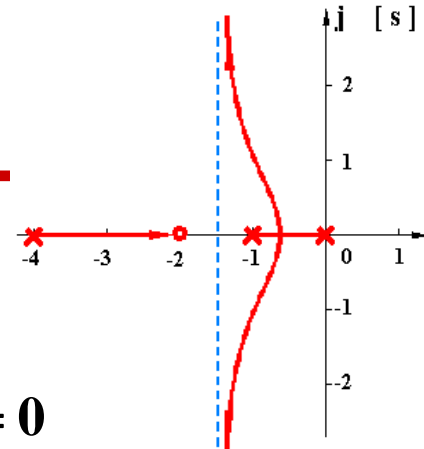
$$\frac{1}{d} + \frac{1}{d+1} + \frac{1}{d+4} = \frac{1}{d+2} \quad (\text{无零点时右端为0})$$

$$K_d^* = \frac{|d||d+1||d+4|}{|d+2|} \stackrel{d=-0.55}{=} 0.589$$

$$G(s) = \frac{K^*(s+2)}{s(s+1)(s+4)}$$

法则6 分离点 d: $\sum_{i=1}^n \frac{1}{d - p_i} = \sum_{j=1}^m \frac{1}{d - z_j}$ (对应重根)

说明: $D(s) = \underline{s(s+1)(s+4)} + \underline{K^*(s+2)} \stackrel{s=d}{=} (s - \lambda_3)(s - d)^2 = 0$



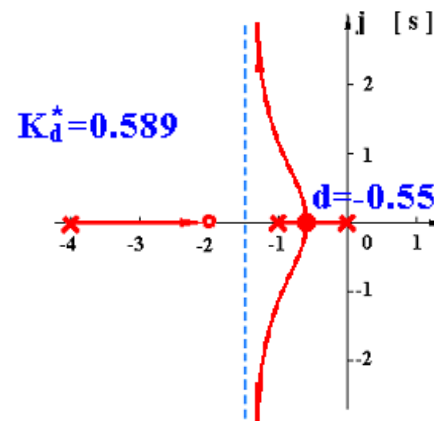
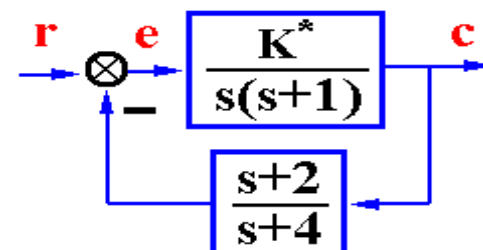
$$\frac{dD(s)}{ds} = \frac{d}{ds} [s(s+1)(s+4)] + K^* \frac{d}{ds} (s+2) \stackrel{s=d}{=} (s-d)^2 + 2(s-d)(s-\lambda_3) = 0$$

$$\frac{\frac{d}{ds} [s(s+1)(s+4)]}{s(s+1)(s+4)} \stackrel{s=d}{=} \frac{-K^* \frac{d}{ds} (s+2)}{-K^* (s+2)} = \frac{\frac{d}{ds} (s+2)}{s+2}$$

$$\frac{d}{ds} \ln [s(s+1)(s+4)] \stackrel{s=d}{=} \frac{d}{ds} \ln (s+2)$$

$$\frac{d}{ds} [\ln s + \ln (s+1) + \ln (s+4)] \stackrel{s=d}{=} \frac{d}{ds} \ln (s+2)$$

$$\frac{1}{d} + \frac{1}{d+1} + \frac{1}{d+4} = \frac{1}{d+2} \quad (\text{无零点时右端为0})$$



分离点

$$\sum_{i=1}^n \frac{1}{d - p_i} = \sum_{j=1}^m \frac{1}{d - z_j}$$

渐近线

$$\sigma_a = \frac{\sum_{i=1}^n p_i - \sum_{j=1}^m z_j}{n - m} \quad \varphi_a = \frac{(2k + 1)\pi}{n - m}$$

例3 单位反馈系统的开环传递函数为 $G(s) = \frac{K^*}{s(s+1)(s+2)}$ ，绘制根轨迹。

解. $G(s) = \frac{K^*}{s(s+1)(s+2)} \quad \begin{cases} K = K^*/2 \\ v = 1 \end{cases} \quad [s]$

① 实轴上的根轨迹: $(-\infty, -2], [-1, 0]$

② 渐近线: $\begin{cases} \sigma_a = \frac{0-1-2}{3} = -1 \\ \varphi_a = \frac{(2k+1)\pi}{3} = \pm 60^\circ, 180^\circ \end{cases}$

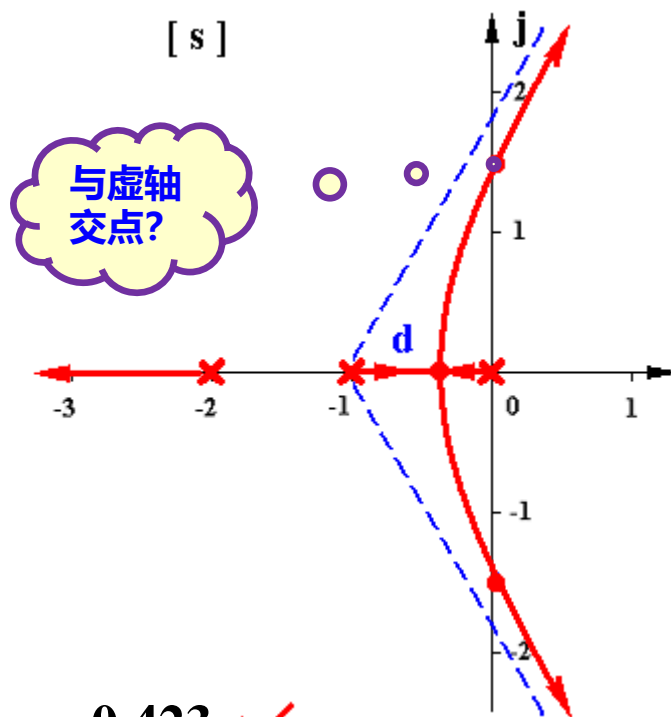
③ 分离点: $\frac{1}{d} + \frac{1}{d+1} + \frac{1}{d+2} = 0$

整理得: $3d^2 + 6d + 2 = 0$

解根: $\begin{cases} d_1 = -0.423 \quad \checkmark \\ d_2 = -1.577 \quad \times \end{cases}$

④ 与虚轴交点: ?

$$K_d^* = |d||d+1||d+2|^{d=-0.423} = 0.385$$



法则7 与虚轴交点: $\begin{cases} 1) \text{ 系统临界稳定点} \\ 2) s = j\omega \text{ 是根的点} \end{cases}$

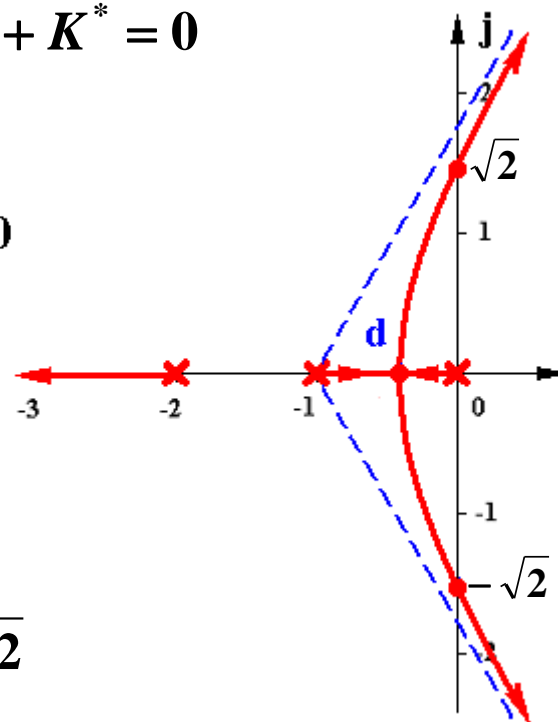
[接例3] $G(s) = \frac{K^*}{s(s+1)(s+2)}$

稳定范围: $0 < K < 3$

$$D(s) = s(s+1)(s+2) + K^* = s^3 + 3s^2 + 2s + K^* = 0$$

解法I: Routh:

$$\begin{array}{ccc} s^3 & 1 & 2 \\ s^2 & 3 & K^* \\ s^1 & \frac{6-K^*}{3} & \\ s^0 & K^* & \end{array} \Rightarrow \begin{array}{l} \text{令 } K^* = 6 \quad \begin{cases} 3s^2 + 6 = 0 \\ s = \pm j\sqrt{2} \end{cases} \\ \Rightarrow K^* < 6 \\ \Rightarrow K^* > 0 \end{array}$$



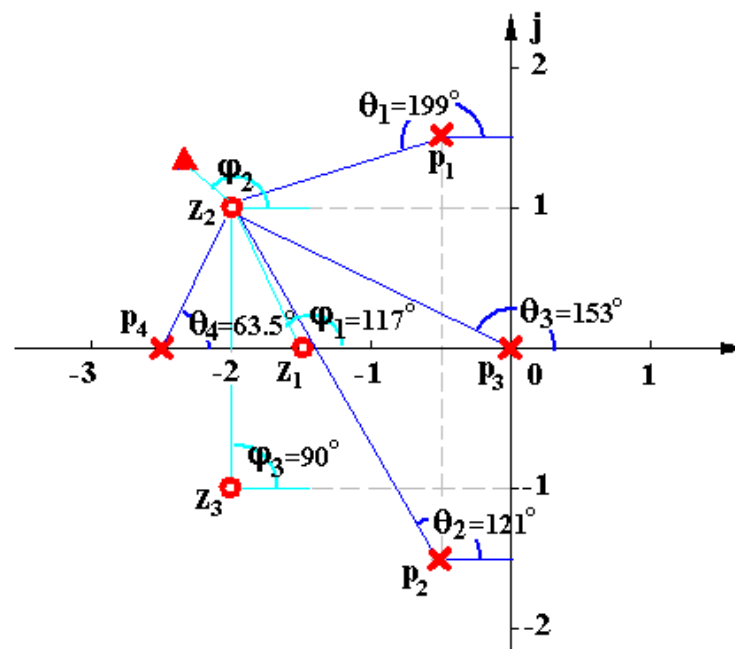
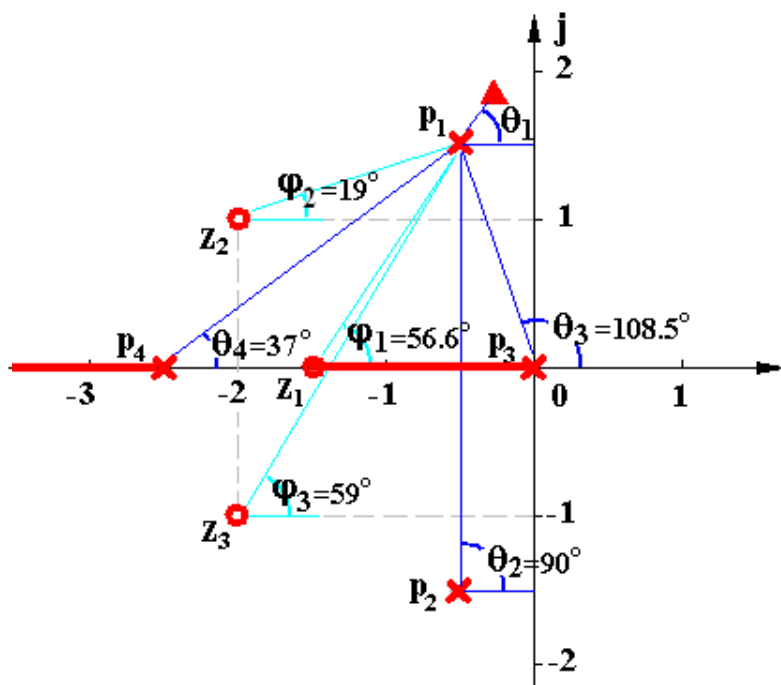
解法II: $D(j\omega) = -j\omega^3 - 3\omega^2 + j2\omega + K^* = 0$

$$\begin{cases} \text{Re}[D(j\omega)] = -3\omega^2 + K^* = 0 \\ \text{Im}[D(j\omega)] = -\omega^3 + 2\omega = 0 \end{cases} \Rightarrow \begin{cases} \omega = \pm\sqrt{2} \\ K^* = 6 \end{cases}$$

法则8 出射角/入射角
(起始角/终止角)

$$\sum_{j=1}^m \angle(s - z_j) - \sum_{i=1}^n \angle(s - p_i) = (2k + 1)\pi$$

例4 单位反馈系统的开环传递函数为 $G(s) = \frac{K^*(s + 1.5)(s + 2 \pm j)}{s(s + 2.5)(s + 0.5 \pm j1.5)}$ ，绘制根轨迹。



$$56.5^\circ + 19^\circ + 59^\circ - [\theta_1 + 90^\circ + 108.5^\circ + 37^\circ] = -180^\circ$$

$$\theta_1 = 79^\circ$$

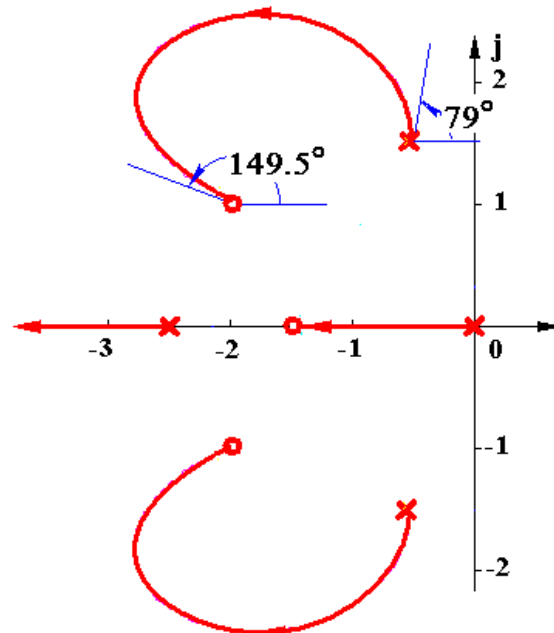
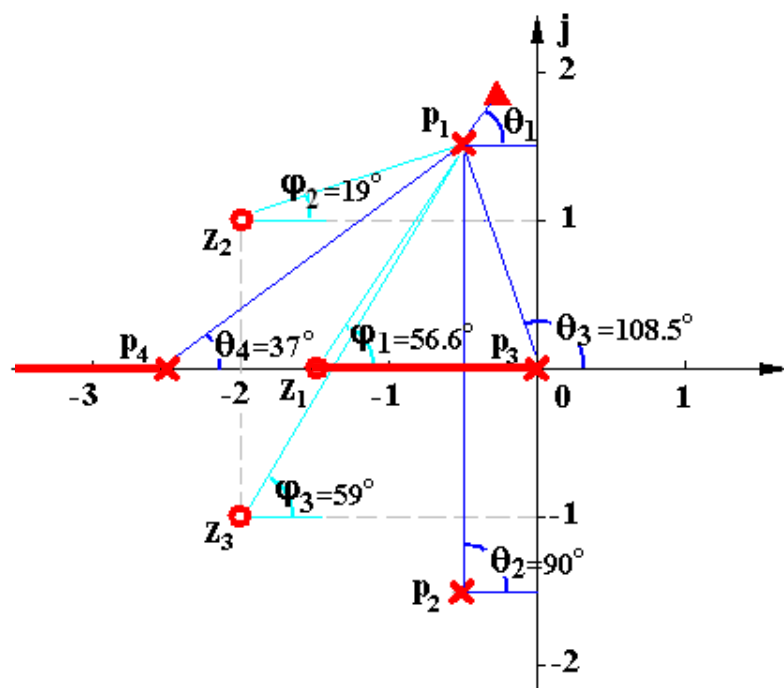
$$[117^\circ + \varphi_2 + 90^\circ] - [199^\circ + 121^\circ + 153^\circ + 63.5^\circ] = -180^\circ$$

$$\varphi_2 = 149.5^\circ$$

法则8 出射角/入射角
(起始角/终止角)

$$\sum_{j=1}^m \angle(s - z_j) - \sum_{i=1}^n \angle(s - p_i) = (2k + 1)\pi$$

例4 单位反馈系统的开环传递函数为 $G(s) = \frac{K^*(s + 1.5)(s + 2 \pm j)}{s(s + 2.5)(s + 0.5 \pm j1.5)}$ ，绘制根轨迹。



$$56.5^\circ + 19^\circ + 59^\circ - [\theta_1 + 90^\circ + 108.5^\circ + 37^\circ] = -180^\circ$$

$$[117^\circ + \varphi_2 + 90^\circ] - [199^\circ + 121^\circ + 153^\circ + 63.5] = -180^\circ$$

$$\theta_1 = 79^\circ$$

$$\varphi_2 = 149.5^\circ$$

绘制根轨迹的基本法则

法则 1 根轨迹的起点和终点

法则 2 根轨迹的分支数, 对称性和连续性

法则 3 实轴上的根轨迹

法则 4 根之和
$$\sum_{i=1}^n \lambda_i = C \quad (n - m \geq 2)$$

法则 5 渐近线
$$\sigma_a = \frac{\sum_{i=1}^n p_i - \sum_{j=1}^m z_j}{n - m} \quad \varphi_a = \frac{(2k + 1)\pi}{n - m}$$

法则 6 分离点
$$\sum_{i=1}^n \frac{1}{d - p_i} = \sum_{j=1}^m \frac{1}{d - z_j}$$

法则 7 与虚轴交点
$$\operatorname{Re}[D(j\omega)] = \operatorname{Im}[D(j\omega)] = 0$$

法则 8 出射角/入射角
$$\sum_{j=1}^m \angle(s - z_j) - \sum_{i=1}^n \angle(s - p_i) = (2k + 1)\pi$$

分离点

$$\sum_{i=1}^n \frac{1}{d-p_i} = \sum_{j=1}^m \frac{1}{d-z_j}$$

渐近线

$$\sigma_a = \frac{\sum_{i=1}^n p_i - \sum_{j=1}^m z_j}{n-m} \quad \varphi_a = \frac{(2k+1)\pi}{n-m}$$

例5 单位反馈系统的开环传递函数为 $G(s) = \frac{K^*}{s(s+20)(s^2+4s+20)}$, 绘制根轨迹。

解. $G(s) = \frac{K^*}{s(s+20)(s+2 \pm j4)} \quad \begin{cases} K = K^*/400 \\ \nu = 1 \end{cases}$

① 实轴上的根轨迹: $[-20, 0]$

② 渐近线: $\sigma_a = \frac{0-20-2-2}{4} = -6 \quad \varphi_a = \frac{(2k+1)\pi}{4} = \pm 45^\circ, \pm 135^\circ$

③ 出射角: $-\theta_1 + 90^\circ + 116.5^\circ + 12.5^\circ = -180^\circ \Rightarrow \theta_1 = -39^\circ$

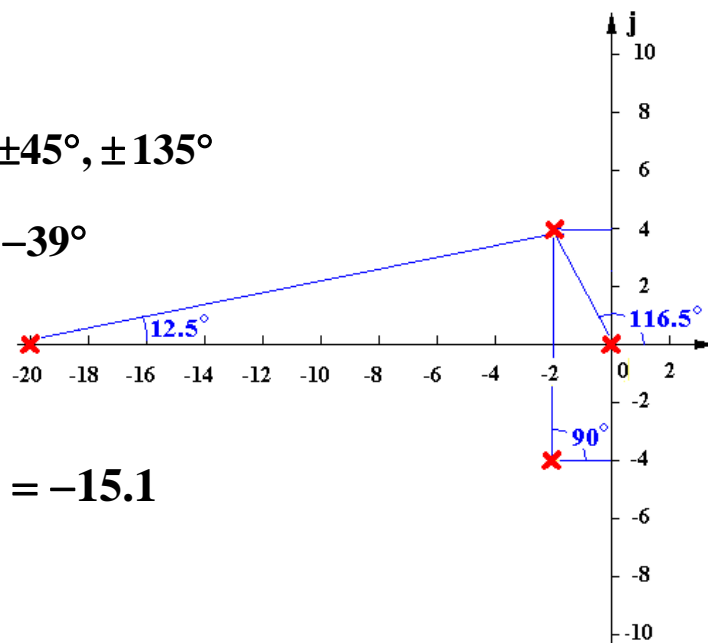
④ 分离点: $\frac{1}{d} + \frac{1}{d+20} + \frac{1}{d+2+j4} + \frac{1}{d+2-j4} = 0$

$$\frac{1}{d} + \frac{1}{d+20} + \frac{2(d+2)}{(d+2)^2 + 4^2} = 0 \quad \text{试根得: } d = -15.1$$

$$K_d^* = |d||d+20|(d+2)^2 + 4^2 \Big|_{d=-15.1} = 13881$$

⑤ 虚轴交点: $D(s) = s^4 + 24s^3 + 100s^2 + 400s + K^* = 0$

$$\begin{cases} \text{Re}[D(j\omega)] = \omega^4 - 100\omega^2 + K^* = 0 \\ \text{Im}[D(j\omega)] = -24\omega^3 + 400\omega = 0 \end{cases} \quad \begin{cases} \omega = \sqrt{400/24} = 4.1 \\ K^* = 1389 \end{cases}$$



出射角 $\sum_{j=1}^m \angle(s - z_j) - \sum_{i=1}^n \angle(s - p_i) = (2k+1)\pi$

分离点 $\sum_{i=1}^n \frac{1}{d - p_i} = \sum_{j=1}^m \frac{1}{d - z_j}$

例5 $G(s) = \frac{K^*}{s(s+20)(s+2 \pm j4)}$
 $\begin{cases} K = K^*/400 \\ \nu = 1 \end{cases}$

① 实轴上的根轨迹: $[-20, 0]$

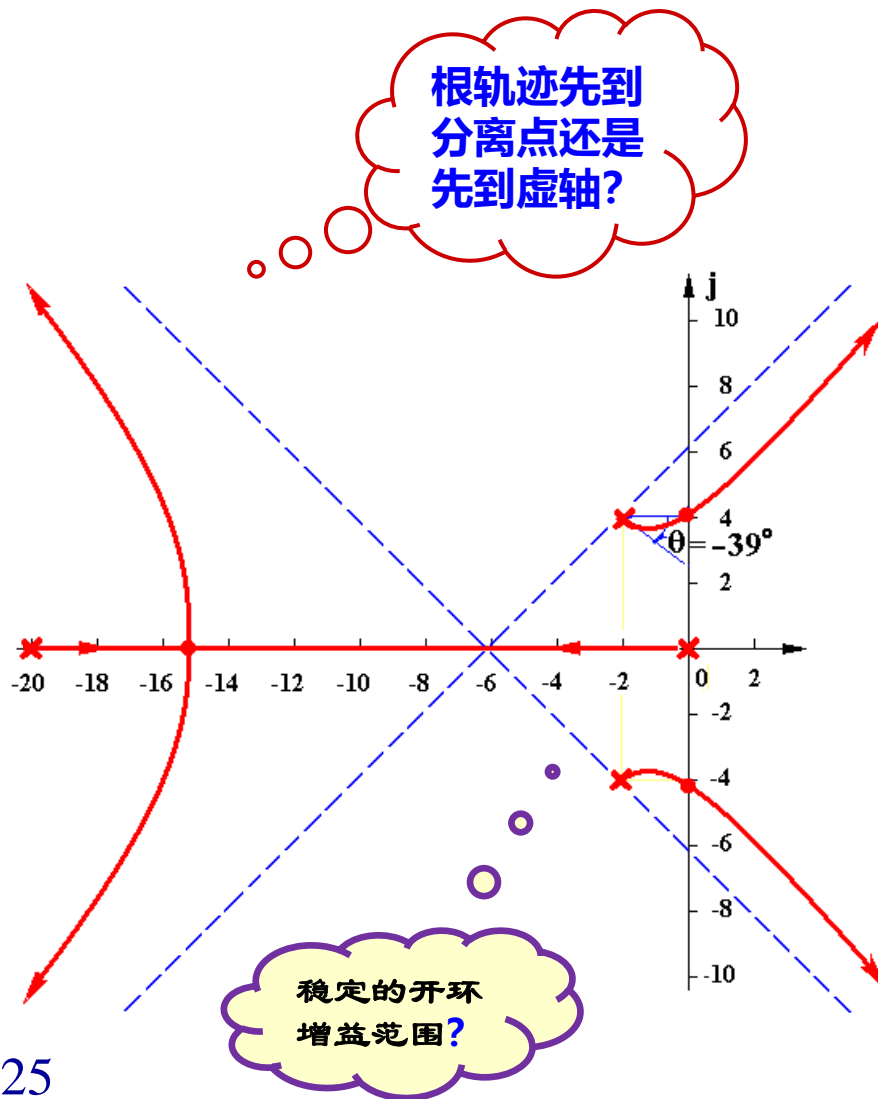
② 渐近线: $\begin{cases} \sigma_a = -6 \\ \varphi_a = \pm 45^\circ, \pm 135^\circ \end{cases}$

③ 出射角: $\theta = -39^\circ$

④ 分离点: $d = -15.1$
 $K_d^* = 13881$

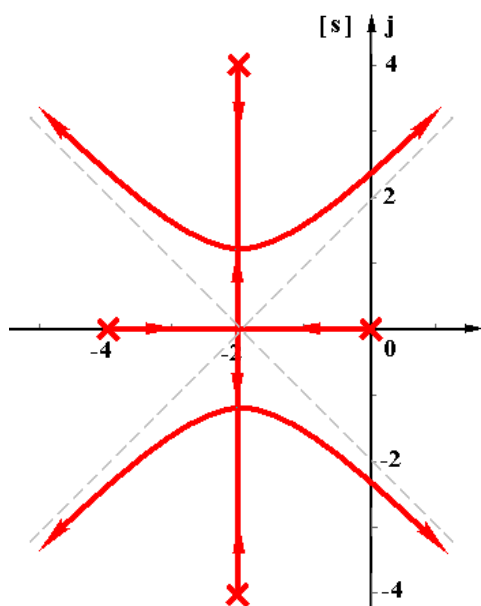
⑤ 虚轴交点: $\begin{cases} \omega = 4.1 \\ K^* = 1389 \end{cases}$

稳定的开环增益范围: $0 < K < 3.4725$

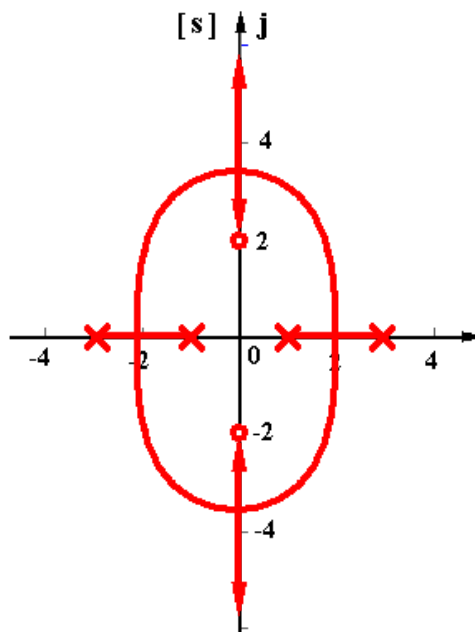


关于根轨迹对称性的一个定理：

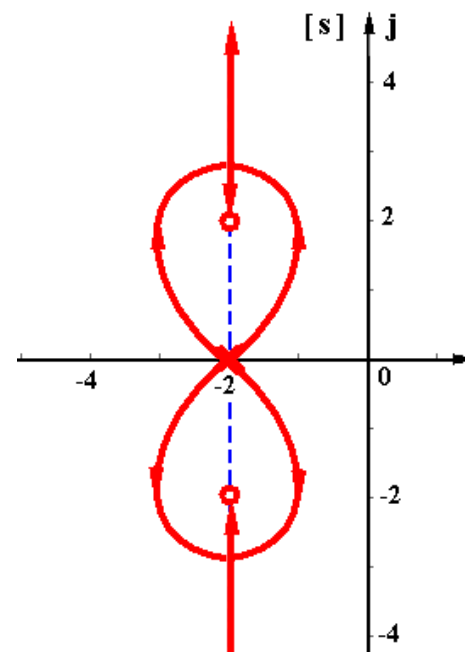
若开环零极点均为偶数个，且关于一条平行于虚轴的直线左右对称分布，则根轨迹一定关于该直线左右对称。



$$\frac{K^*}{s(s+4)(s^2+4s+20)}$$



$$\frac{K^*(s^2+4)}{(s^2-1)(s^2-9)}$$



$$\frac{K^*(s^2+4s+8)}{(s+2)^4}$$

分离点

$$\sum_{i=1}^n \frac{1}{d - p_i} = \sum_{j=1}^m \frac{1}{d - z_j}$$

渐近线

$$\sigma_a = \frac{\sum_{i=1}^n p_i - \sum_{j=1}^m z_j}{n - m} \quad \varphi_a = \frac{(2k + 1)\pi}{n - m}$$

例 4.3.9 负反馈系统的开环传递函数为

$$G(s)H(s) = \frac{k}{s(s + 4)(s^2 + 4s + 20)}$$

试绘制系统的根轨迹。

根轨迹起始于开环极点 $p_1 = 0, p_2 = -4, p_3 = -2 + j4, p_4 = -2 - j4$, 无零点

根轨迹有四条、连续且对称于实轴

① 实轴上的根轨迹 $[-4, 0]$

② 渐近线与实轴交点为 -2 , 渐近线与实轴正负夹角为 45° 、 135° 度

③ 分离点:

$$\frac{dD(s)}{ds} = \frac{d}{ds} [s(s + 4)(s^2 + 4s + 20) + k] = 0$$

$$d_1 = -2, d_2 = -2 + j2.45, d_3 = -2 - j2.45$$

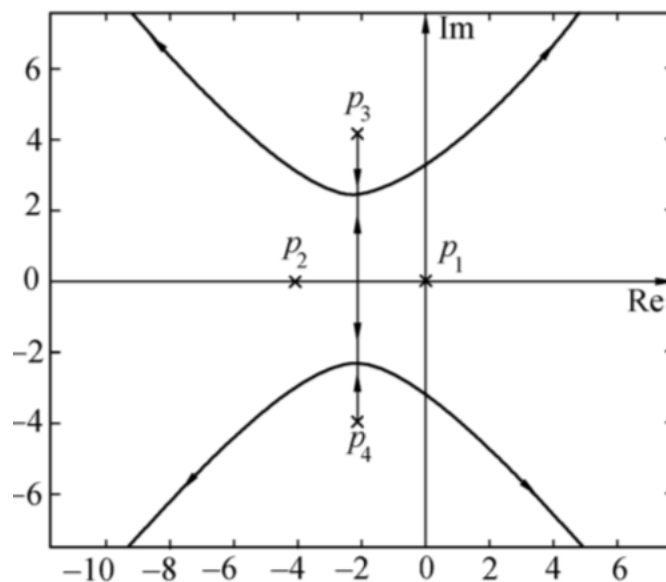
可以验证 d_2, d_3 是系统根轨迹上的点, 也是分离点

④ p_3 出射角 -90°

$$\sum_{j=1}^m \angle(s - z_j) - \sum_{i=1}^n \angle(s - p_i) = (2k + 1)\pi$$

⑤ 与虚轴交点

$$\omega = 0, k = 0 \text{ 或 } \omega = \pm\sqrt{10}, k = 260$$



分离点

$$\sum_{i=1}^n \frac{1}{d - p_i} = \sum_{j=1}^m \frac{1}{d - z_j}$$

渐近线

$$\sigma_a = \frac{\sum_{i=1}^n p_i - \sum_{j=1}^m z_j}{n - m} \quad \varphi_a = \frac{(2k + 1)\pi}{n - m}$$

例 4.3.10 单位负反馈系统开环传递函数为

$$G(s)H(s) = \frac{k(s + 0.4)}{s^2(s + 3.6)}$$

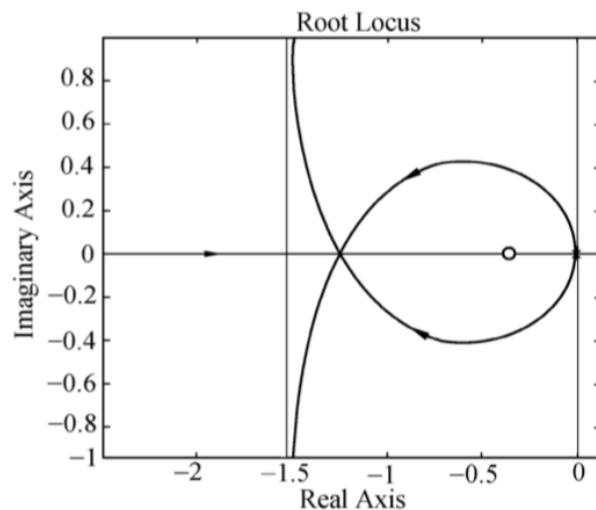
试绘制该系统根轨迹的大致图形。

解 该系统的开环传递函数已是典型零极点形式,有三个开环极点: $p_{1,2} = 0, p_3 = -3.6$; 有一个开环零点 $z_1 = -0.4$ 。

根轨迹起始于开环极点, 一条终止于零点 $z_1 = -0.4$, 其他两条趋于渐近线。

- ① 实轴上的根轨迹 $[-3.6, -0.4]$
- ② 渐近线与实轴交点为 -1.6 , 渐近线与实轴正方向夹角为 90 度
- ③ 分离点: $d = -1.2$

- ④ 出射角: $\pm 90^\circ$
- $$\sum_{j=1}^m \angle(s - z_j) - \sum_{i=1}^n \angle(s - p_i) = (2k + 1)\pi$$



出射角

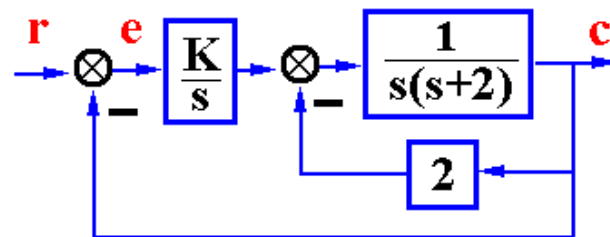
$$\sum_{j=1}^m \angle(s - z_j) - \sum_{i=1}^n \angle(s - p_i) = (2k+1)\pi$$

渐近线

$$\sigma_a = \frac{\sum_{i=1}^n p_i - \sum_{j=1}^m z_j}{n-m} \quad \varphi_a = \frac{(2k+1)\pi}{n-m}$$

例6 已知系统结构图，绘制根轨迹。

解. $G(s) = \frac{K}{s} \frac{1}{1 + \frac{2}{s(s+2)}} = \frac{K}{s[s^2 + 2s + 2]}$ $\begin{cases} K_k = K/2 \\ v = 1 \end{cases}$

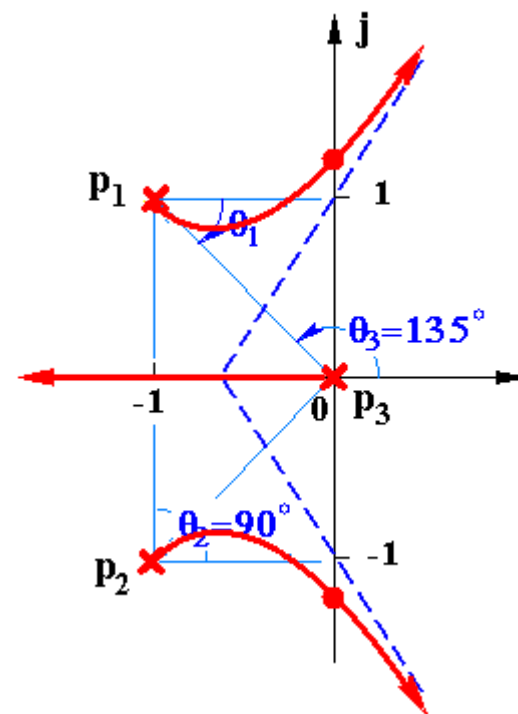


① 实轴上的根轨迹 $(-\infty, 0]$

② 渐近线: $\begin{cases} \sigma_a = \frac{0-1-1}{3} = -\frac{2}{3} \\ \varphi_a = \frac{(2k+1)\pi}{3} = \pm 60^\circ, 180^\circ \end{cases}$

③ 出射角: $0 - [\theta_1 + 90^\circ + 135^\circ] = -180^\circ \Rightarrow \theta_1 = -45^\circ$

④ 与虚轴交点: $D(s) = s^3 + 2s^2 + 2s + K = 0$



$$\begin{cases} \operatorname{Re}[D(j\omega)] = -2\omega^2 + K = 0 \\ \operatorname{Im}[D(j\omega)] = -\omega^3 + 2\omega = 0 \end{cases} \quad \begin{cases} \omega = \pm\sqrt{2} \\ K = 4 \end{cases}$$

根轨迹法分析控制系统性能

性能分析小结 { 稳定性分析 ——看根什么情况下位于左半平面？

 { 动态性能 { 定性分析 ——随着参数变化，特征根怎么变？

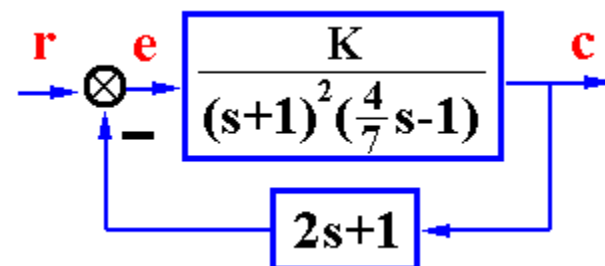
 { 定量计算 ——先求相应的闭环极点，再进行计算。

 { 稳态性能 ——看开环增益和系统的“型”。

根轨迹法分析控制系统性能

例1 系统结构图如图所示

- (1) 绘制当 $K^* = 0 \rightarrow \infty$ 时系统的根轨迹;
- (2) 分析系统稳定性随 K 变化的规律。



解. (1)
$$G(s) = \frac{K(2s+1)}{(s+1)^2(\frac{4}{7}s-1)} = \frac{3.5K(s+1/2)}{(s+1)^2(s-\frac{7}{4})} \quad \begin{cases} K^* = 3.5K \\ \nu = 0 \end{cases}$$

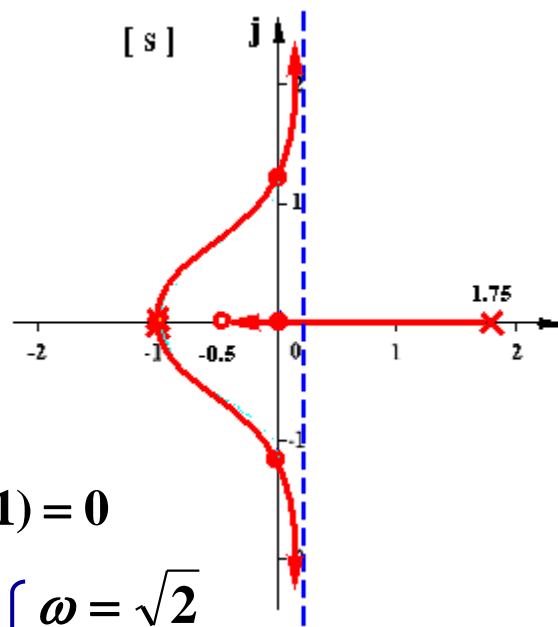
① 实轴上的根轨迹: $[-0.5, 1.75]$

② 渐近线:
$$\begin{cases} \sigma_a = \frac{-2 + 7/4 + 1/2}{3-1} = \frac{1}{8} \\ \varphi_a = \frac{(2k+1)\pi}{3-1} = \pm 90^\circ \end{cases}$$

③ 出射角: $180^\circ - [2\theta + 180^\circ] = -180^\circ \Rightarrow \theta = 90^\circ$

④ 与虚轴交点: $D(s) = 4s^3 + s^2 + (14K - 10)s + 7(K - 1) = 0$

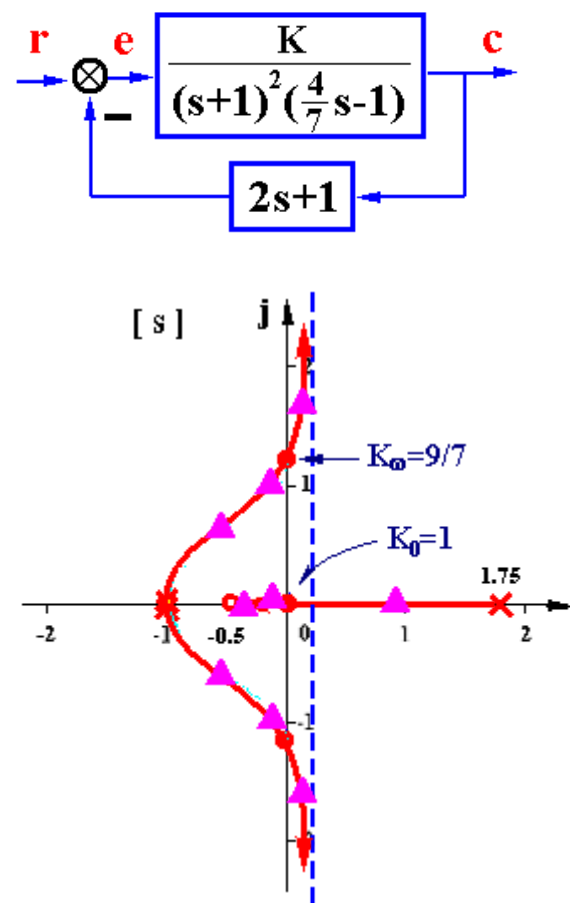
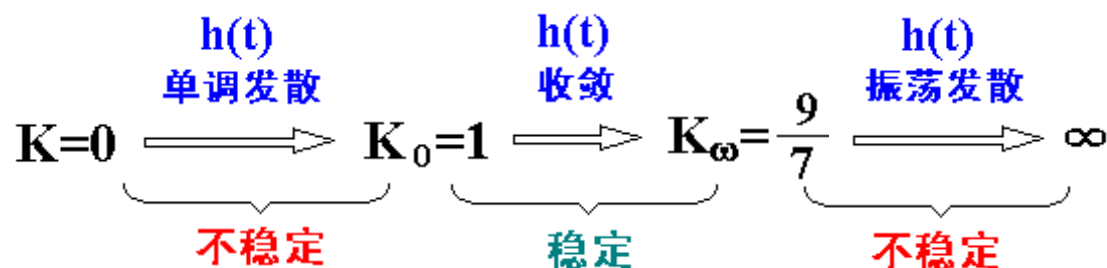
$$\begin{cases} \text{Re}[D(j\omega)] = -\omega^2 + 7(K-1) = 0 \\ \text{Im}[D(j\omega)] = -4\omega^3 + (14\omega - 10)\omega = 0 \end{cases} \quad \begin{cases} \omega = 0 \\ K = 1 \end{cases} \quad \begin{cases} \omega = \sqrt{2} \\ K = 9/7 \end{cases}$$



例1 系统结构图如图所示

- (1) 绘制当 $K^* = 0 \rightarrow \infty$ 时系统的根轨迹;
- (2) 分析系统稳定性随 K 变化的规律。

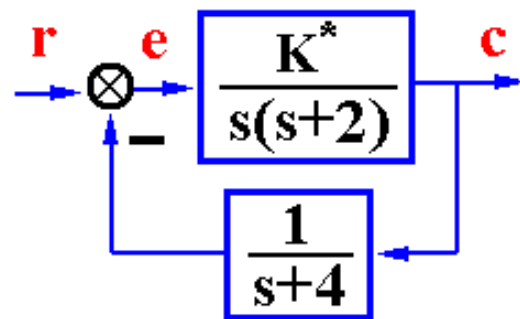
解. (2) 分析:



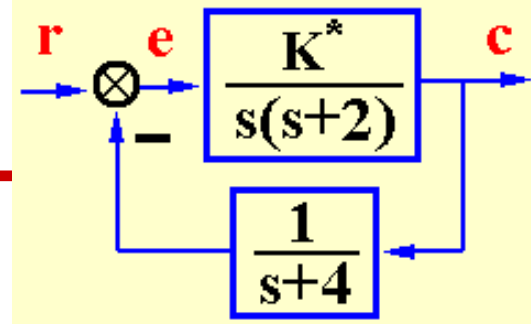
根轨迹法分析控制系统性能

例2 已知系统结构图， $K^* = 0 \rightarrow \infty$ ，绘制系统根轨迹并确定：

- (1) 使系统稳定且为欠阻尼状态时开环增益 K 的取值范围；
- (2) 复极点对应 $\xi=0.5$ ($\theta=60^\circ$) 时的 K 值及闭环极点位置；
- (3) 当 $\lambda_3=-5$ 时， $\lambda_{1,2}=?$ 相应 $K=?$



分离点 $\sum_{i=1}^n \frac{1}{d-p_i} = \sum_{j=1}^m \frac{1}{d-z_j}$ 渐近线 $\sigma_a = \frac{\sum_{i=1}^n p_i - \sum_{j=1}^m z_j}{n-m}$ $\varphi_a = \frac{(2k+1)\pi}{n-m}$



(1) 使系统稳定且为欠阻尼状态时开环增益 K 的取值范围;

解. 绘制系统根轨迹 $G(s) = \frac{K^*}{s(s+2)(s+4)}$ $\begin{cases} K = K^*/8 \\ \nu = 1 \end{cases}$

① 实轴上的根轨迹: $(-\infty, -4], [-2, 0]$

② 渐近线: $\begin{cases} \sigma_a = (-2-4)/3 = -2 \\ \varphi_a = \pm 60^\circ, 180^\circ \end{cases}$

③ 分离点: $\frac{1}{d} + \frac{1}{d+2} + \frac{1}{d+4} = 0$

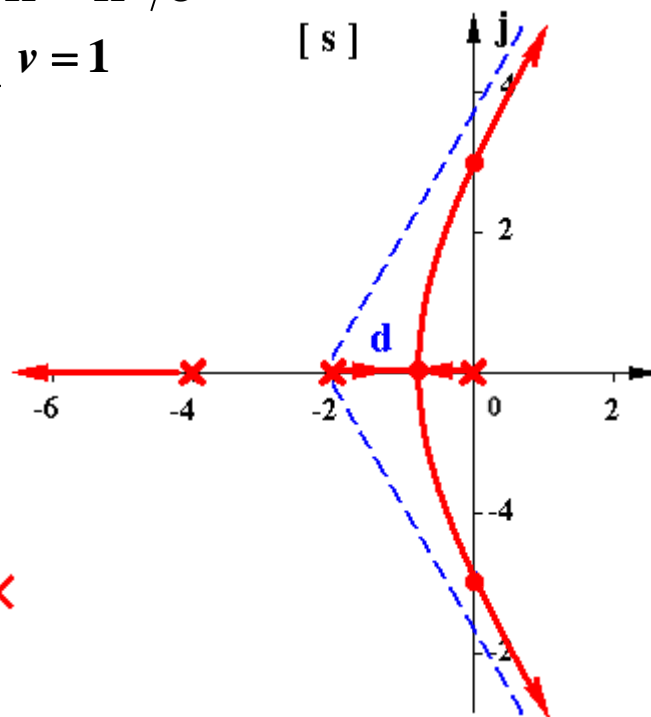
整理得: $3d^2 + 12d + 8 = 0$

解根: $d_1 = -0.845; \checkmark$ $d_2 = -3.155 \times$

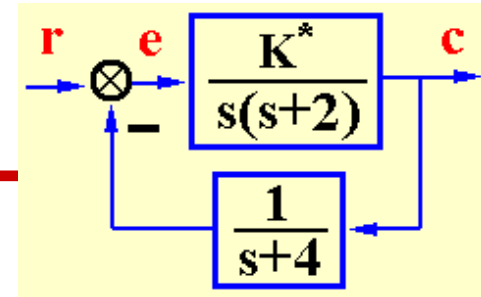
$K_d^* = |d||d+2||d+4|_{d=-0.845} = 3.08$

④ 虚轴交点: $D(s) = s(s+2)(s+4) + K^* = s^3 + 6s^2 + 8s + K^* = 0$

$\begin{cases} \text{Im}[D(j\omega)] = -\omega^3 + 8\omega = 0 \\ \text{Re}[D(j\omega)] = -6\omega^2 + K^* = 0 \end{cases} \quad \begin{cases} \omega = \sqrt{8} = 2.828 \\ K_\omega^* = 48 \end{cases}$



$$G(s) = \frac{K^*}{s(s+2)(s+4)}$$



(1) 使系统稳定且为欠阻尼状态时开环增益 K 的取值范围

依题, 对应 $0 < \xi < 1$ 有:
$$\begin{cases} K_d^* = 3.08 < K^* < 48 = K_\omega^* \\ \frac{3.08}{8} < K = \frac{K^*}{8} < \frac{48}{8} = 6 \end{cases}$$

(2) 复极点对应 $\xi=0.5$ ($\theta=60^\circ$) 时的 K 值及闭环极点位置

设 $\lambda_{1,2} = -\xi\omega_n \pm j\sqrt{1-\xi^2}\omega_n$

由根之和 $C = 0 - 2 - 4 = -6 = -2\xi\omega_n + \lambda_3$

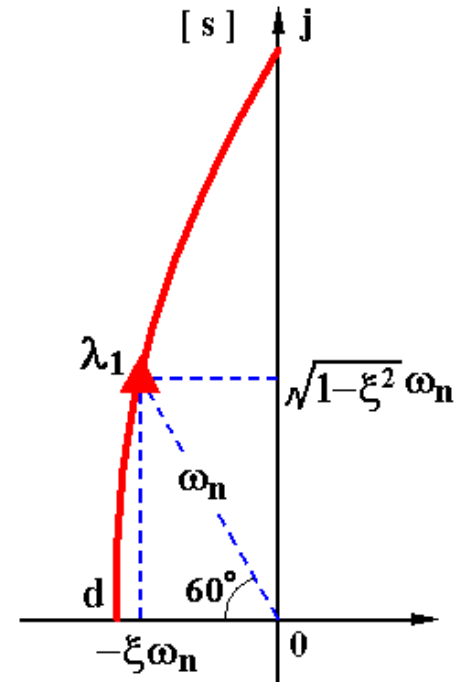
$$\lambda_3 = -6 + 2\xi\omega_n \stackrel{\xi=0.5}{=} -6 + \omega_n$$

应有: $D(s) = s(s+2)(s+4) + K^* = \underline{s^3 + 6s^2 + 8s + K^*}$

$$= (s - \lambda_1)(s - \lambda_2)(s - \lambda_3) = (s^2 + 2\xi\omega_n s + \omega_n^2)(s + 6 - \omega_n)$$

$$= \underline{s^3 + 6s^2 + 6\omega_n s + \omega_n^2(6 - \omega_n)}$$

比较系数 $\begin{cases} 6\omega_n = 8 \\ \omega_n^2(6 - \omega_n) = K^* \end{cases}$ 解根: $\begin{cases} \omega_n = 4/3 \\ K^* = 8.3 \end{cases}$ $\begin{cases} K = K^*/8 = 1.0375 \\ \lambda_{1,2} = -0.667 \pm j1.1547 \\ \lambda_3 = -6 + \omega_n = -4.667 \end{cases}$



$$G(s) = \frac{K^*}{s(s+2)(s+4)}$$

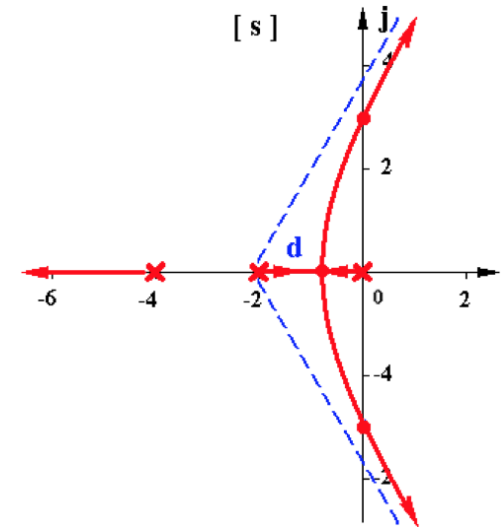
(3) 当 $\lambda_3 = -5$ 时, $\lambda_{1,2} = ?$ 相应 $K = ?$

$$\begin{aligned} D(s) &= s(s+2)(s+4) + K^* = s^3 + 6s^2 + 8s + K^* \\ &= (s+5)(s^2 + as + b) \end{aligned}$$

$$a = 1, \quad b = 3, \quad K^* = 15$$

$$\lambda_{1,2} = -0.5 \pm j1.6583$$

$$K = K^*/8 = 15/8 = 1.875$$



$$\begin{aligned} D(s) &= s^3 + 6s^2 + 8s + K^* \\ &= (s+5)(s^2 + s + 3) \end{aligned}$$

$$\lambda_{1,2} = -0.5 \pm j1.6583$$

$$K^* = 15$$

$$K = K^*/8 = 15/8 = 1.875$$

$$\begin{array}{r} s^2 + s + 3 \\ s + 5 \overline{) s^3 + 6s^2 + 8s + K^*} \\ \underline{s^3 + 5s^2} \\ s^2 + 8s \\ \underline{s^2 + 5s} \\ 3s + K^* \\ \underline{3s + 15} \\ 0 \end{array}$$

$K^* = 15 \quad \Leftarrow$

分离点 $\sum_{i=1}^n \frac{1}{d - p_i} = \sum_{j=1}^m \frac{1}{d - z_j}$

例 4.4.1 负反馈系统的开环传递函数是

$$G(s)H(s) = \frac{k(s+1)}{s(s-3)}$$

试用根轨迹法分析该系统的性能。

绘制根轨迹

根轨迹起始于开环极点，一条终止于零点 $z_1 = -1$ ，另一条趋于渐近线，渐近线为负实轴。

① 实轴上的根轨迹

② 分离点：

$d_1 = 1, d_2 = -3$ (开环放大倍数 $K = \frac{k}{3} = 3$)

③ 与虚轴交点：

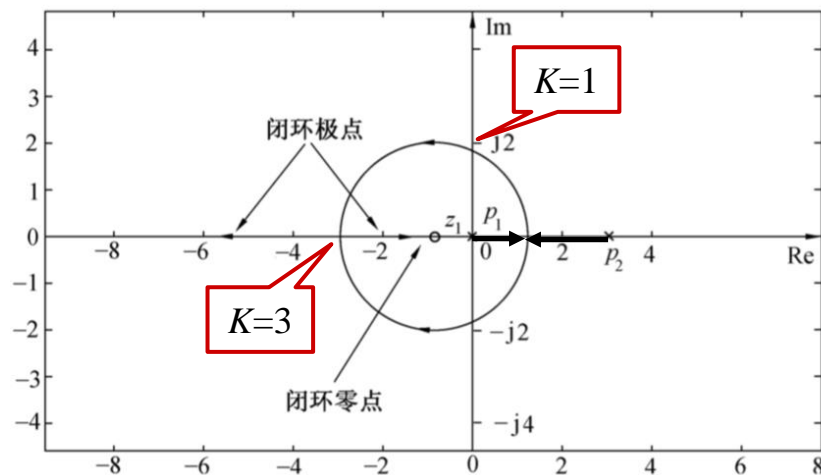
$\omega = \pm\sqrt{3}, k = 3$ (开环放大倍数 $K = \frac{k}{3} = 1$)

系统性能分析：

① 稳定性分析：在开环放大倍数 $K < 1$ 时不稳定

② 动态过程分析：

③ 稳态误差分析：



分离点 $\sum_{i=1}^n \frac{1}{d - p_i} = \sum_{j=1}^m \frac{1}{d - z_j}$

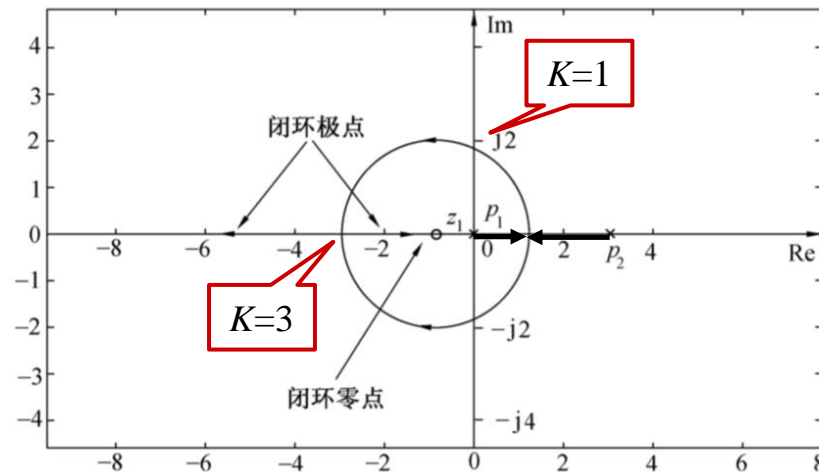
例 4.4.1 负反馈系统的开环传递函数是

$$G(s)H(s) = \frac{k(s+1)}{s(s-3)}$$

试用根轨迹法分析该系统的性能。

系统性能分析：

- ① 稳定性分析：在开环放大倍数 $K < 1$ 时不稳定
- ② 动态过程分析：
- ③ 稳态误差分析：



(2) 动态过程分析：根轨迹实轴上 -3 处汇合分离点对应的 $k = 9$, 开环放大倍数 $K = 3$ 。当 $1 < K < 3$ 时, 闭环传递函数有一对共轭的复数极点和一闭环极点 $z_1 = -1$, 系统是稳定的, 但动态过程中会出现衰减振荡的分量; 当 $k > 9, K > 3$ 时, 系统的闭环传递函数有两个负实数极点和一个零点 $z_1 = -1$, 系统稳定, 动态过程中无衰减振荡分量。由于系统的闭环传递函数中存在一个零点 $z = -1$ 和两个极点, 所以需用拉氏反变换或用 MATLAB 求取系统的阶跃响应曲线, 再求出各项动态性能指标。

(3) 稳态误差分析：该系统的开环传递函数有一个 $p_1 = 0$ 的极点, 所以系统是 I 型系统。根据闭环极点的位置可以求出该点对应的 k 与 K 的值, 开环放大倍数 $K = K_v$, 可以由此计算出稳态误差。

分离点

$$\sum_{i=1}^n \frac{1}{d - p_i} = \sum_{j=1}^m \frac{1}{d - z_j}$$

例 4.4.2 负反馈系统的开环传递函数

$$G(s)H(s) = \frac{k}{s(s+1)(s+2)}$$

试用根轨迹法分析该系统的性能。并计算闭环阻尼比为 $\zeta = 0.5$ 时的各项性能指标。

绘制根轨迹

系统性能分析：

(1) 稳定性分析：根轨迹与虚轴交点坐标 $\pm \sqrt{2}$ ($k=6, K=3$)，当 $0 < K < 3$ 时闭环稳定。

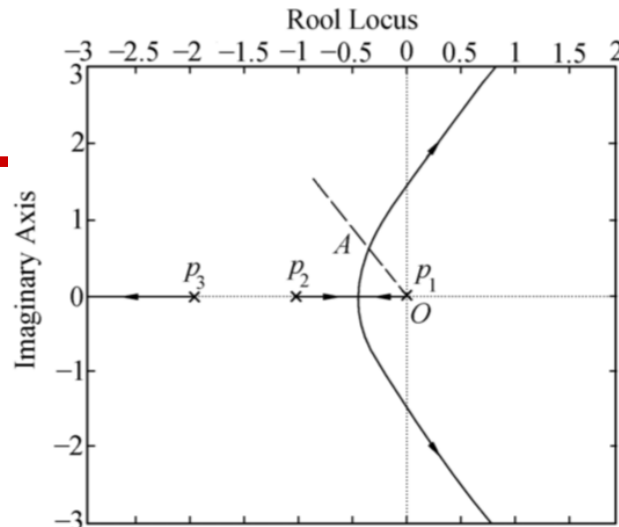
(2) 动态过程分析：根轨迹在实轴上的分离点 $d=-0.423$ ($k=0.385, K=0.193$)

① 当 $0 < K < 0.193$ 时，闭环系统有3个实数极点，单位阶跃响应单调上升；

② 当 $0.193 < K < 3$ 时，2个共轭复数极点为主导极点，动态过程呈现欠阻尼二阶系统的特性。随着 K 的增加，超调量增大，调整时间增大。

(3) 当闭环极点位于图 4.4.2 中 A 点位置时，闭环系统阻尼比 $\zeta = 0.5$ ，由根轨迹求出 A 点的坐标为 $A = -0.333 + j0.577$ ，对应的 $k = 1.06, K = 0.503$ 。按照第二章给出的方法，求出闭环系统的性能： $\sigma_p = 16\%$ ， $t_s = 12$ s，系统是 I 型， $K_v = K = 0.503$ 。

(4) 稳态误差分析：该系统是 I 型系统，当闭环极点在 A 点时， $K_v = K = 0.503$ 。所以该系统在阶跃函数输入作用下，稳态误差为零；单位斜坡输入作用下稳态误差 $e_{ss} = 1/K_v = 1/0.503$ ；在恒加速度输入信号作用下稳态误差为 ∞ 。



参数根轨迹 — 除 K^* 之外其他参数变化时系统的根轨迹

例1 单位反馈系统: $G(s) = \frac{(s+a)/4}{s^2(s+1)}$, $a=0 \rightarrow \infty$ 变化, 绘制根轨迹; $\xi=1$ 时, $\Phi(s)=?$

解. (1) $D(s) = s^3 + s^2 + \frac{1}{4}s + \frac{1}{4}a = 0$

构造 “等效开环传递函数” $G^*(s) = \frac{a/4}{s^3 + s^2 + s/4} = \frac{a/4}{s(s+0.5)^2}$

① 实轴根轨迹: $(-\infty, 0]$

② 渐近线: $\sigma_a = -1/3$ $\varphi_a = \pm 60^\circ, 180^\circ$

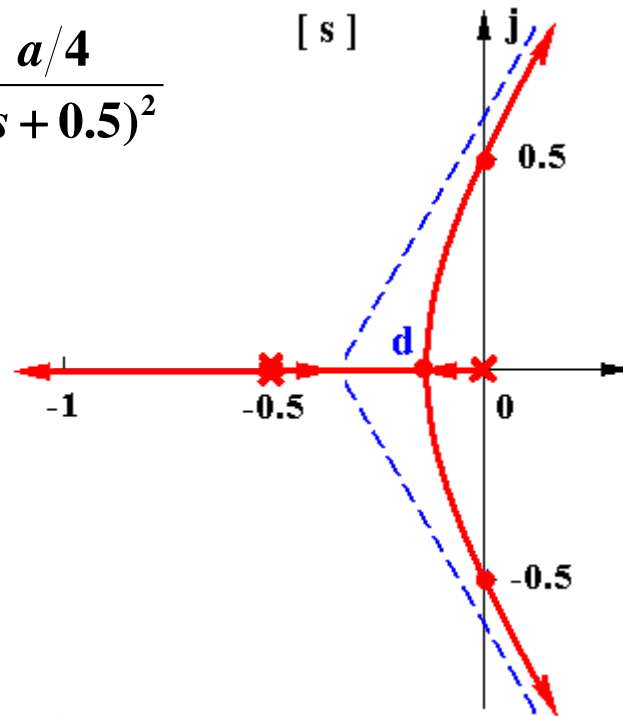
③ 分离点: $\frac{1}{d} + \frac{2}{d+0.5} = 0$

整理得: $3d + 0.5 = 0 \Rightarrow d = -1/6$

分离点处a的值: $a_d = 4|d||d+0.5|^2 = 2/27$

④ 与虚轴交点: $D(s) = s^3 + s^2 + s/4 + a/4 = 0$

$$\begin{cases} \operatorname{Re}[D(j\omega)] = -\omega^2 + a/4 = 0 \\ \operatorname{Im}[D(j\omega)] = -\omega^3 + \omega/4 = 0 \end{cases} \begin{cases} \omega = 1/2 \\ a = 1 \end{cases}$$



$$G(s) = \frac{(s+a)/4}{s^2(s+1)}$$

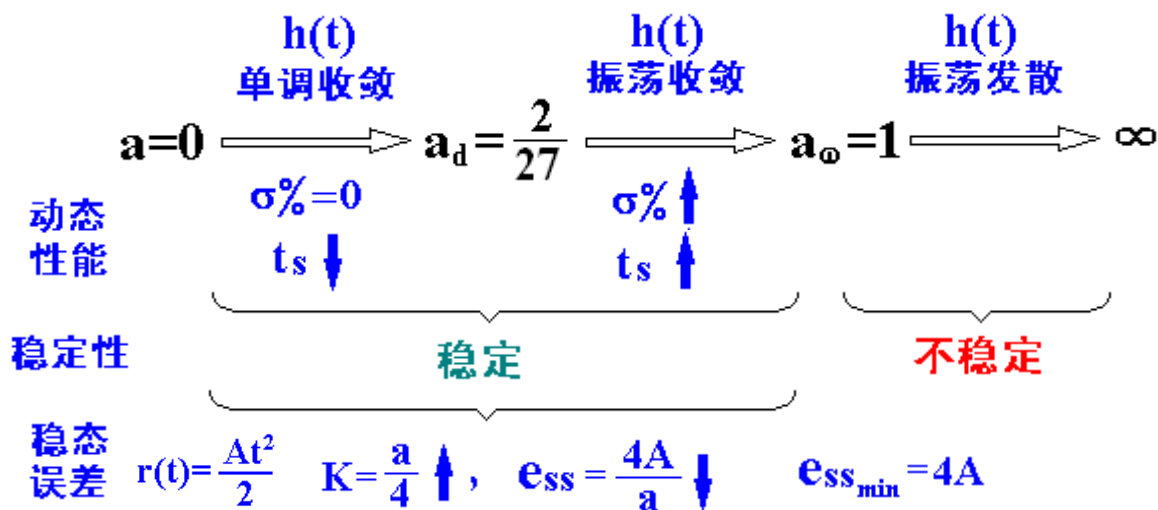
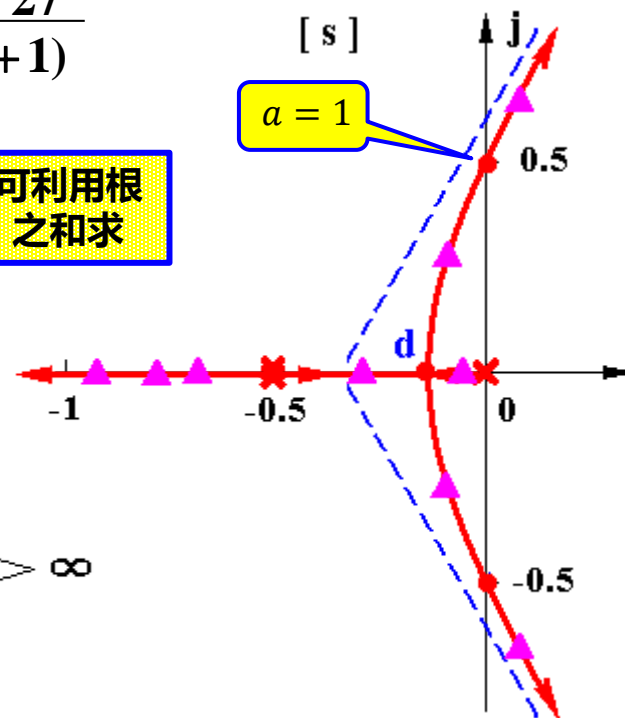
等效传函
仅用来绘
制根轨迹

解. (2) $\xi=1$ 时, 对应于分离点 d , $a_d=2/27$, $\Phi(s)=?$

$$G^*(s) = \frac{a/4}{s(s+0.5)^2} \quad G(s) = \frac{\frac{1}{4}(s+a)}{s^2(s+1)} \stackrel{a=2/27}{=} \frac{\frac{1}{4}(s+\frac{2}{27})}{s^2(s+1)}$$

$$\Phi(s) = \frac{\frac{1}{4}(s+\frac{2}{27})}{s^2(s+1) + \frac{1}{4}(s+\frac{2}{27})} = \frac{\frac{1}{4}(s+\frac{2}{27})}{(s+\frac{1}{6})^2(s+\frac{2}{3})}$$

可利用根
之和求



例2 单位反馈系统的开环传递函数为 $G(s) = \frac{615(s+26)}{s^2(Ts+1)}$, $T=0 \rightarrow \infty$, 绘制根轨迹。

解 I. $D(s) = Ts^3 + s^2 + 615s + 15990 = 0$

$$G^*(s) = \frac{\frac{1}{T}(s^2 + 615s + 15990)}{s^3} = \frac{\frac{1}{T}(s + 27.7)(s + 587.7)}{s^3}$$

① 实轴上的根轨迹: $(-\infty, -587.7], [-27.7, 0]$

② 出射角: $2 \times 0 - 3\theta = (2k+1)\pi$

$$\theta = \pm 60^\circ, 180^\circ$$

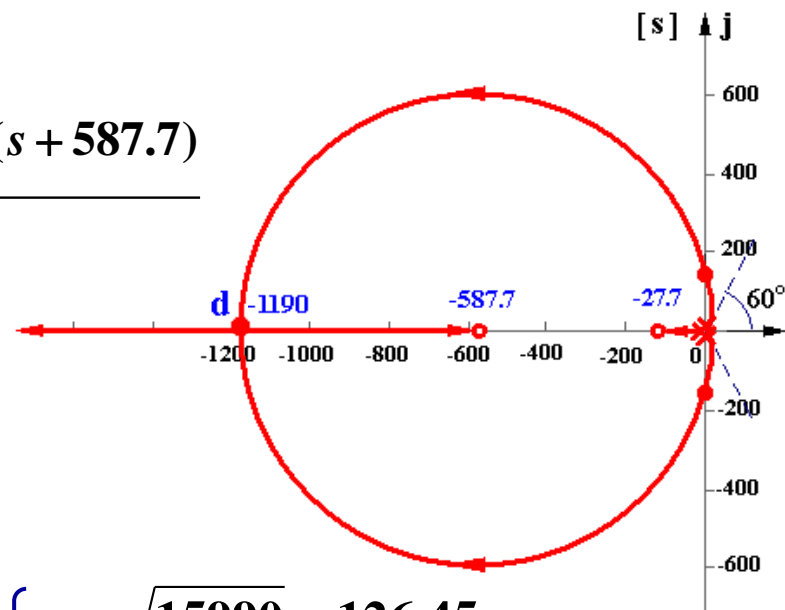
③ 虚轴交点: $\begin{cases} \text{Re}[D(j\omega)] = -\omega^2 + 15990 = 0 \\ \text{Im}[D(j\omega)] = -T\omega^3 + 615\omega = 0 \end{cases}$

$$\begin{cases} \omega = \sqrt{15990} = 126.45 \\ T = 615/15990 = 0.0385 \end{cases}$$

④ 分离点: $\frac{3}{d} = \frac{1}{d+27.7} + \frac{1}{d+587.7}$

整理得: $d^2 + 1231d + 47970 = 0$

解根: $\begin{cases} d_1 = -40.5, \quad d_2 = -1190 \quad \checkmark \\ T_d = \frac{|d+27.7||d+587.7|}{|d|^3} = 0.00055 \end{cases}$



例2 单位反馈系统的开环传递函数为 $G(s) = \frac{615(s+26)}{s^2(Ts+1)}$, $T=0 \rightarrow \infty$, 绘制根轨迹。

解II. $D(s) = Ts^3 + s^2 + 615s + 15990 = 0$

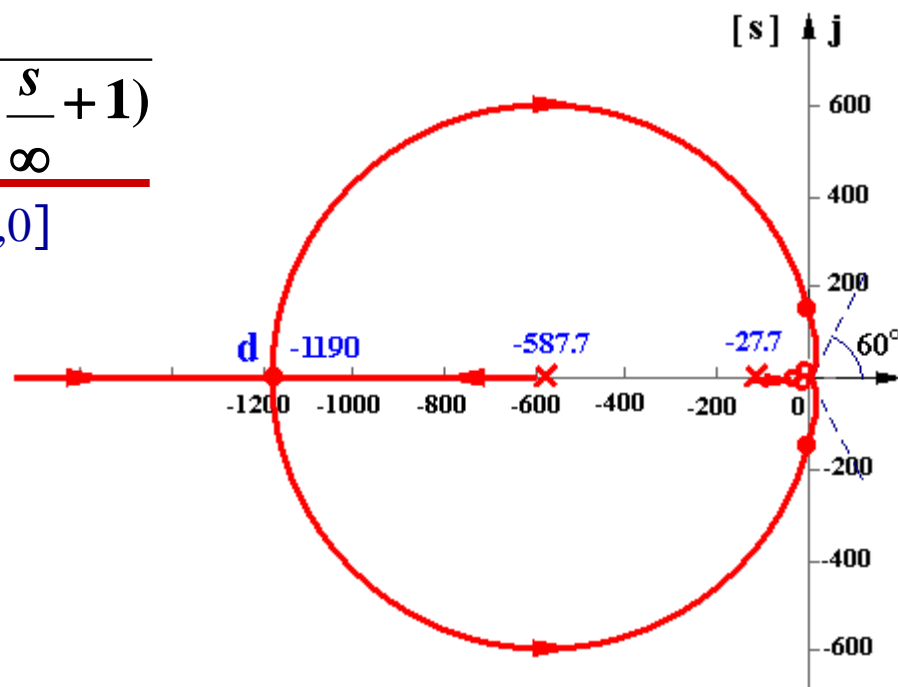
$$G_2^*(s) = \frac{Ts^3}{(s+27.7)(s+587.7)(\frac{s}{\infty}+1)}$$

① 实轴根轨迹: $(-\infty, -587.7], [-27.7, 0]$

② 分离点: $d = -1190$
 $T_d = 0.00055$

③ 虚轴交点: $\begin{cases} \omega = 126.45 \\ T = 0.0358 \end{cases}$

④ 入射角: $\theta = \pm 60^\circ, 180^\circ$



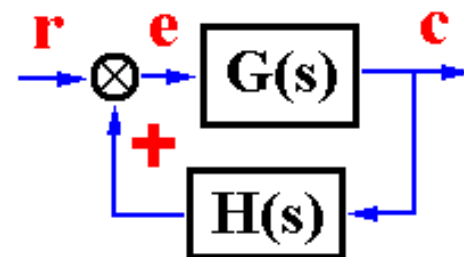
零度根轨迹 —— 系统实质上处于正反馈时的根轨迹

$$G(s)H(s) = \frac{K^* (s - z_1) \cdots (s - z_m)}{(s - p_1)(s - p_2) \cdots (s - p_n)} = \frac{K^* \prod_{i=1}^m (s - z_i)}{\prod_{j=1}^n (s - p_j)}$$

$$\Phi(s) = \frac{G(s)}{1 - G(s)H(s)}$$

根轨迹方程

$$G(s)H(s) = \frac{K^* (s - z_1) \cdots (s - z_m)}{(s - p_1)(s - p_2) \cdots (s - p_n)} = +1$$



$$|G(s)H(s)| = \frac{K^* |s - z_1| \cdots |s - z_m|}{|s - p_1| |s - p_2| \cdots |s - p_n|} = K^* \frac{\prod_{i=1}^m |s - z_i|}{\prod_{j=1}^n |s - p_j|} = 1$$

—— 模值条件

$$\angle G(s)H(s) = \sum_{i=1}^m \angle(s - z_i) - \sum_{j=1}^n \angle(s - p_j) = 2k\pi$$

—— 相角条件

绘制零度根轨迹的基本法则

法则 1 根轨迹的起点和终点

法则 2 根轨迹的分支数, 对称性和连续性

★ 法则 3 实轴上的根轨迹

法则 4 根之和

$$\sum_{i=1}^n \lambda_i = C \quad (n-m \geq 2)$$

★ 法则 5 渐近线

$$\sigma_a = \frac{\sum_{i=1}^n p_i - \sum_{j=1}^m z_j}{n-m} \quad \varphi_a = \frac{2k\pi}{n-m}$$

法则 6 分离点

$$\sum_{i=1}^n \frac{1}{d-p_i} = \sum_{j=1}^m \frac{1}{d-z_j}$$

法则 7 与虚轴交点

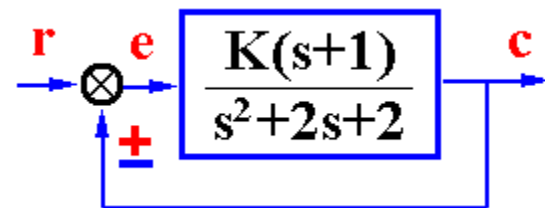
$$\operatorname{Re}[D(j\omega)] = \operatorname{Im}[D(j\omega)] = 0$$

★ 法则 8 出射角/入射角

$$\sum_{j=1}^m \angle(s-z_j) - \sum_{i=1}^n \angle(s-p_i) = 2k\pi$$

例5 系统结构图如图所示, $K^* = 0 \rightarrow \infty$, 变化,
试分别绘制 180° 、 0° 根轨迹。

解. $G(s) = \frac{K(s+1)}{s^2 + 2s + 2} = \frac{K(s+1)}{(s+1+j)(s+1-j)} \quad \begin{cases} K_k = K/2 \\ \nu = 0 \end{cases}$



(1) 180° 根轨迹

(2) 0° 根轨迹

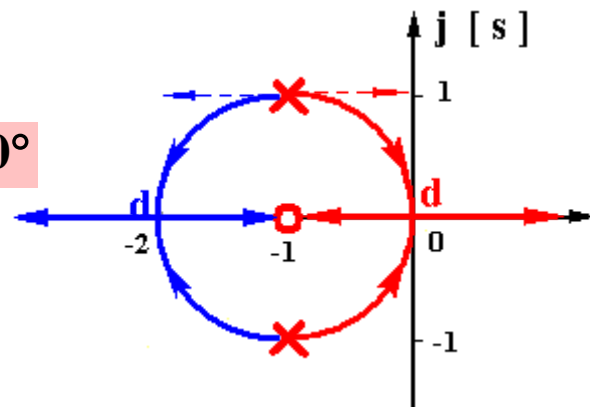
① 实轴轨迹: $(-\infty, -1]$

$[-1, \infty)$

② 出射角: $90^\circ - [\theta + 90^\circ] = -180^\circ$
 $\Rightarrow \theta = 180^\circ$

$90^\circ - [\theta + 90^\circ] = 0^\circ$
 $\Rightarrow \theta = 0^\circ$

③ 分离点: $\frac{1}{d+1+j} + \frac{1}{d+1-j} = \frac{2(d+1)}{d^2+2d+2} = \frac{1}{d+1}$



整理得: $d^2 + 2d = d(d+2) = 0$

解根: $\begin{cases} d_1 = -2 \\ K_{d_1} = \frac{|d+1+j||d+1-j|}{|d+1|} \Big|_{d=-2} = 2 \end{cases}$

$\begin{cases} d_2 = 0 \\ K_{d_2} = \frac{|d+1+j||d+1-j|}{|d+1|} \Big|_{d=0} = 2 \end{cases}$

例6 系统开环传递函数 $G(s) = \frac{K^*(s+1)}{(s+3)^3}$, 分别绘制 0° 、 180° 根轨迹。

解. $G(s) = \frac{K^*(s+1)}{(s+3)^3} \quad \begin{cases} K = K^*/27 \\ \nu = 0 \end{cases}$

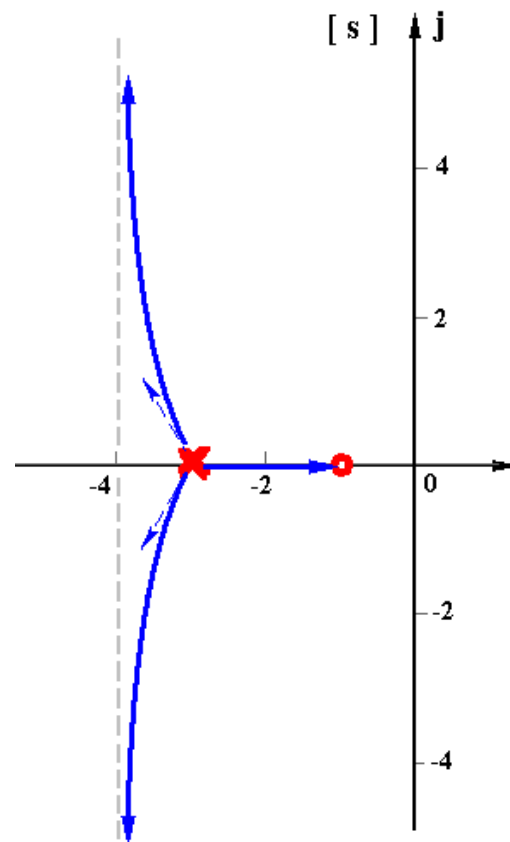
(1) 绘制 180° 根轨迹

① 实轴上的根轨迹: $[-3, -1]$

② 出射角: $180^\circ - 3\theta = (2k+1)\pi$

$$\Rightarrow \theta_1 = \frac{2k\pi}{3} = 0^\circ, \pm 120^\circ$$

③ 渐近线: $\begin{cases} \sigma_a = \frac{-3 \times 3 + 1}{2} = -4 \\ \varphi_a = \frac{(2k+1)\pi}{2} = \pm 90^\circ \end{cases}$



解. $G(s) = \frac{K^*(s+1)}{(s+3)^3} \quad \begin{cases} K = K^*/27 \\ v = 0 \end{cases}$

(2) 绘制 0° 根轨迹

① 实轴轨迹: $(-\infty, -3], [-1, \infty)$

② 出射角: $180^\circ - 3\theta = 2k\pi$

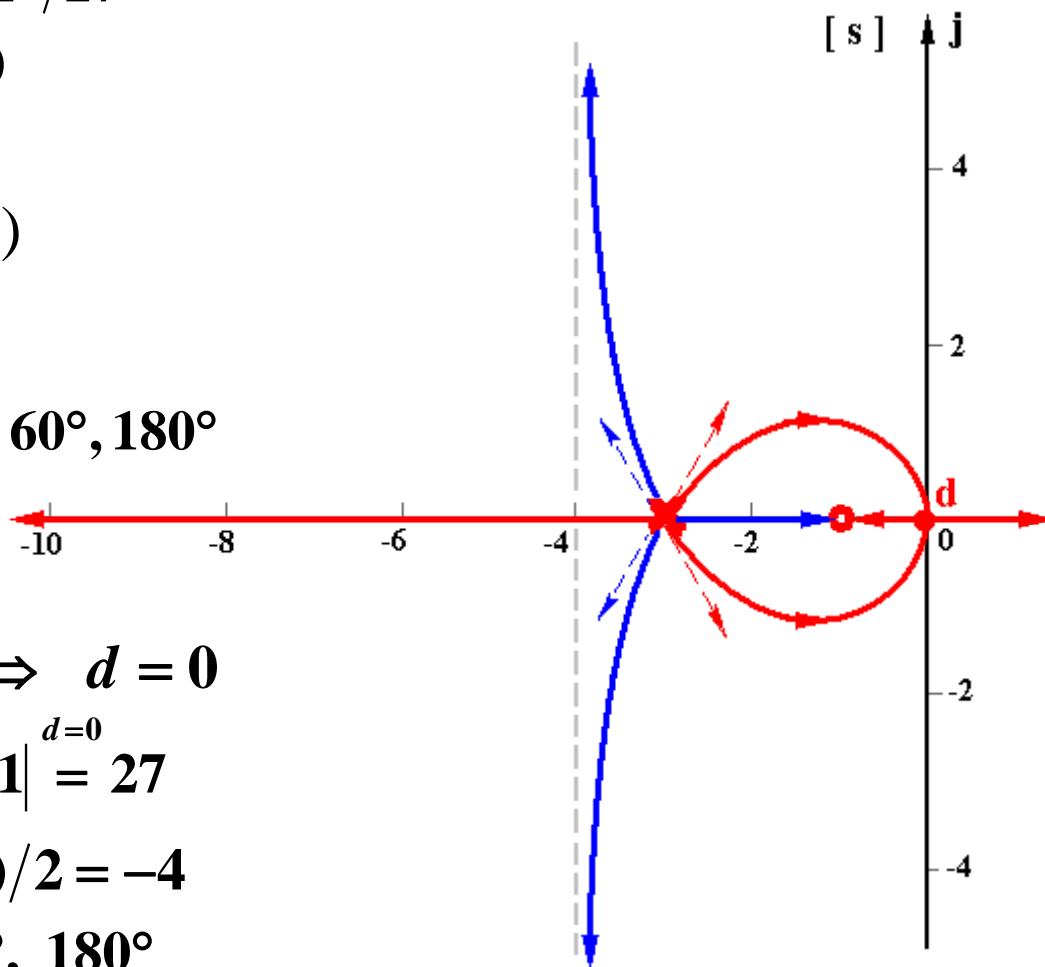
$$\theta = \frac{(2k+1)\pi}{3} = \pm 60^\circ, 180^\circ$$

③ 分离点: $\frac{3}{d+3} = \frac{1}{d+1}$

整理得: $3d + 3 = d + 3 \Rightarrow d = 0$

$$K_d^* = |d+3|^3 / |d+1|^{d=0} = 27$$

④ 渐近线: $\begin{cases} \sigma_a = (-3 \times 3 + 1)/2 = -4 \\ \varphi_a = 2k\pi/2 = 0^\circ, 180^\circ \end{cases}$



$$\text{渐近线} \quad \sigma_a = \frac{\sum_{i=1}^n p_i - \sum_{j=1}^m z_j}{n-m} \quad \varphi_a = \frac{(2k+1)\pi}{n-m}$$

例7 已知 $G(s) = \frac{K^*(s+1)}{s(s-1)(s^2+4s+16)}$, 绘根轨迹; 求稳定的K范围。

解. $G(s) = \frac{K^*(s+1)}{s(s-1)(s+2 \pm j2\sqrt{3})} \quad \begin{cases} K = K^*/16 \\ v = 1 \end{cases}$

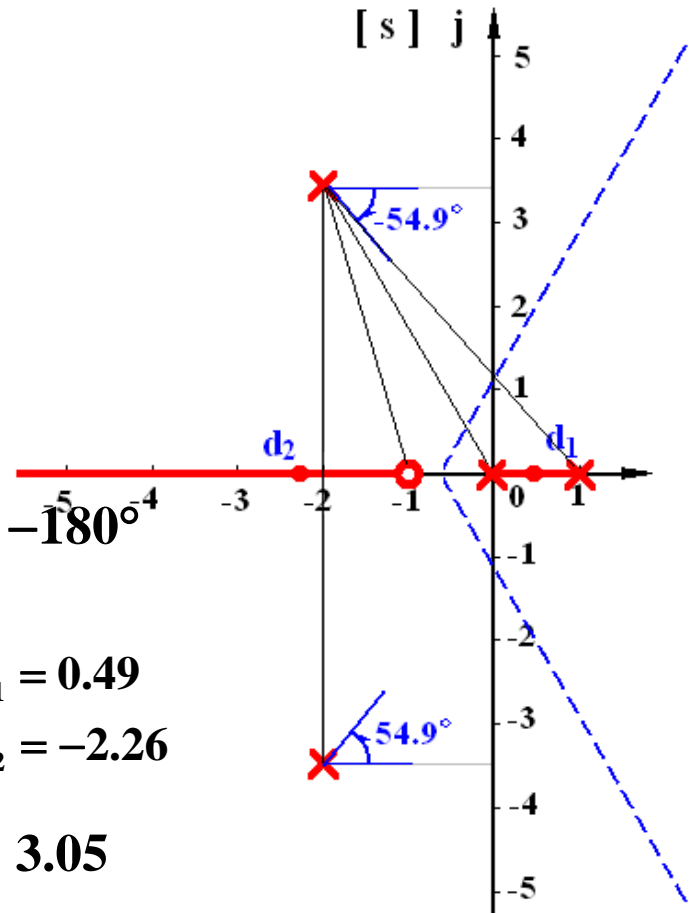
① 实轴上的根轨迹: $(-\infty, -1], [0, 1]$

② 渐近线: $\begin{cases} \sigma_a = (1-4+1)/3 = -2/3 \\ \varphi_a = (2k+1)\pi/3 = \pm 60^\circ, 180^\circ \end{cases}$

③ 出射角: $106.1^\circ - [\theta_1 + 90^\circ + 120^\circ + 130.9^\circ] = -180^\circ$
 $\Rightarrow \theta_1 = -54.9^\circ$

④ 分离点: $\frac{1}{d} + \frac{1}{d-1} + \frac{2(d+2)}{d^2+4d+16} = \frac{1}{d+1} \quad \begin{cases} d_1 = 0.49 \\ d_2 = -2.26 \end{cases}$

$$K_{d_{1,2}}^* = \frac{|d||d-1||d^2+4d+16|}{|d+1|} \quad \begin{matrix} d=0.49 \\ d=-2.26 \end{matrix} \quad \begin{cases} 3.05 \\ 70.6 \end{cases}$$



$$\text{例7 } G(s) = \frac{K^*(s+1)}{s(s-1)(s^2+4s+16)} \quad \begin{cases} K = K^*/16 \\ v = 1 \end{cases}$$

⑤ 虚轴交点:

$$D(s) = s^4 + 3s^3 + 12s^2 + (K^* - 16)s + K^* = 0$$

$$\begin{cases} \operatorname{Re}[D(j\omega)] = \omega^4 - 12\omega^2 + K^* = 0 \\ \operatorname{Im}[D(j\omega)] = -3\omega^3 + (K^* - 16)\omega = 0 \end{cases}$$

$$K^* = 3\omega^2 + 16$$

$$\omega^4 - 9\omega^2 + 16 = 0$$

$$\begin{cases} \omega_1 = 1.56 & \begin{cases} K_1^* = 19.7 \\ K_2^* = 35.7 \end{cases} \\ \omega_2 = 2.56 \end{cases}$$

稳定的 K^* 范围: $19.7 < K^* < 35.7$

稳定的 K 范围: $1.234 < K = \frac{K^*}{16} < 2.23$

